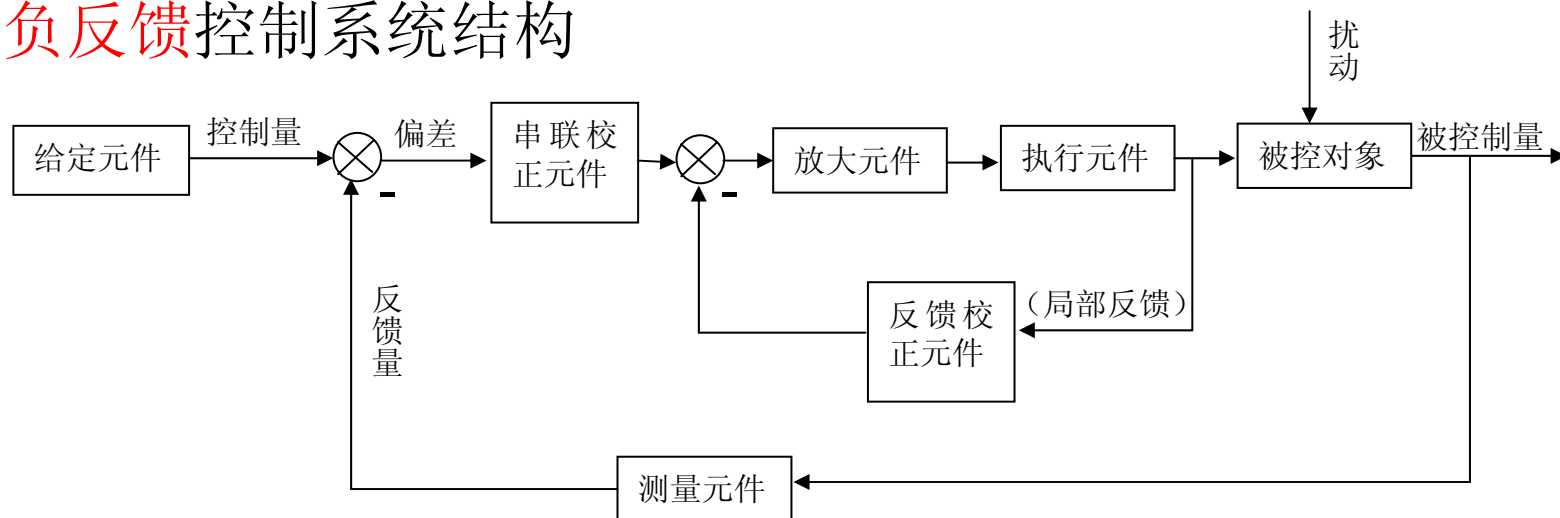
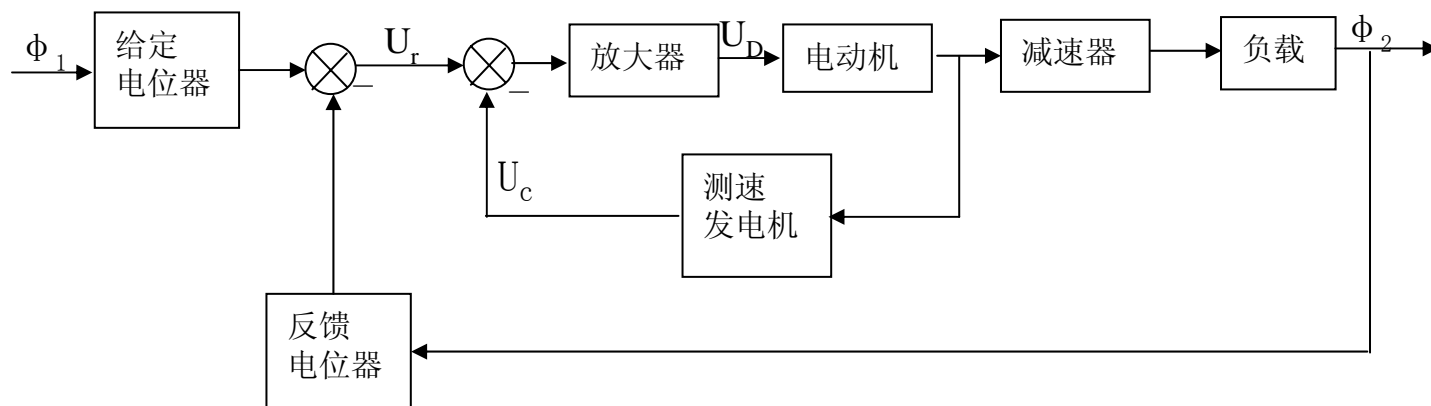


第一章 概论

典型负反馈控制系统结构



1—3



第一章 概论

工作原理

该系统的作用是使负载的角位移 ϕ_2 随给定角度 ϕ_1 的变化而变化，即位置随动系统，并且带有测速发电机的内反馈系统。

当负载的实际位置 ϕ_2 与给定位置 ϕ_1 相符时，则 $U_r=0$ ，电动机不转。当负载的实际位置 ϕ_2 与给定位置 ϕ_1 不相符时，偏差电压 $U_r \neq 0$ ，经放大器放大后使电动机转动，通过减速器移动负载，使负载和反馈电位器向减小偏差的方向转动。

稳态时，输出转速 Ω 与输入电压 U_r 有一一对应的关系。所以给定 U_r 就设定了转速 Ω 。若负载力矩 M 增加，在 M 增加的瞬时，电动机转速 Ω 下降；这是测速发电机（输出电压 U_o 与输入转速 Ω 呈现线性关系的测量元件）输出电压 U_c 下降；这使得差动放大器的反相输入电压 $U_r - U_c$ 增大；电动机电枢电压 U_D 随之上升，电枢电流 i_D 随之上升；电动机电枢输出力矩 M 上升，这使得输出转速 Ω 上升，从而使电动机转速 Ω 基本回到原先稳定的转速。

第二章 控制系统的数学模型

习题答案:

$$2-1 \quad (a) \quad \frac{R_1 R_2 C s + R_2}{R_1 R_2 C s + R_1 + R_2}$$

$$2-1 \quad (b) \quad \frac{1}{R_1 R_2 C_1 C_2 s + (R_1 C_1 + R_1 C_2 + R_2 C_2) s + 1}$$

$$2-2 \quad (a) \quad 2 + \frac{1}{RCs}$$

$$2-2 \quad (b) \quad -4(RCs + 1)$$

第二章 控制系统的数学模型

$$2-4 \quad \frac{G_1 G_2 + G_2 H}{1 + G_1 G_2}$$

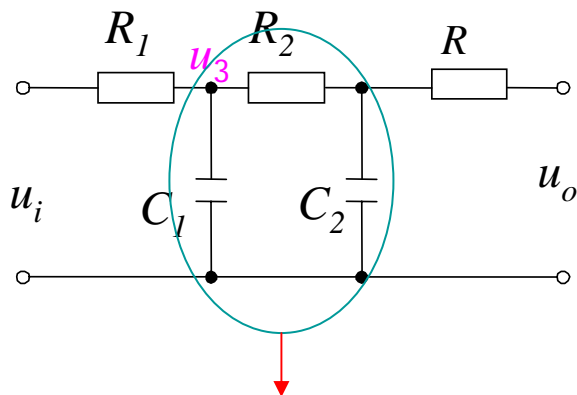
$$2-5 \quad \frac{G_1 G_2 G_3}{1 + G_2 H_2 - G_1 G_2 G_3 H_1 - G_1 G_2 G_3 - G_1 G_2 H_2}$$

$$2-6 \quad \frac{10s^3 + 3s^2 + 17s + 14}{10s^3 + 3s^2 + 10s + 14}$$

第二章 控制系统的数学模型

习题解

2-1 (b) 析:



$$\frac{\frac{1}{C_1 s} (R_2 + \frac{1}{C_2 s})}{\frac{1}{C_1 s} + R_2 + \frac{1}{C_2 s}}$$

$$u_3 = \frac{R_2 C_2 s + 1}{R_1 R_2 C_1 C_2 s + (R_1 C_1 + R_1 C_2 + R_2 C_2) s + 1} u_i$$

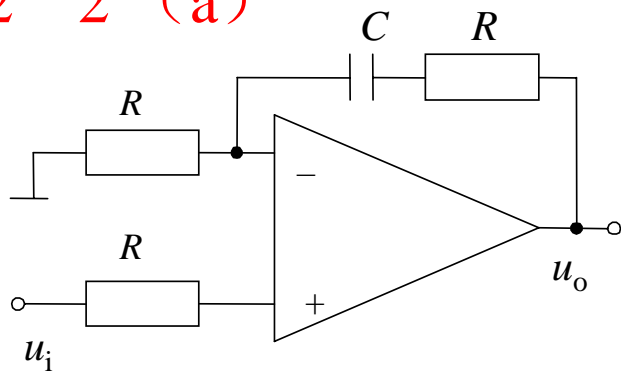
$$u_o = \frac{\frac{1}{C_2 s}}{R_2 + \frac{1}{C_2 s}} u_3 = \frac{1}{R_2 C_2 s + 1} u_3$$

$$u_o = \frac{1}{R_1 R_2 C_1 C_2 s + (R_1 C_1 + R_1 C_2 + R_2 C_2) s + 1} u_i$$

$$(R_1 R_2 C_1 C_2 s + (R_1 C_1 + R_1 C_2 + R_2 C_2) s + 1)^{-1}$$

第二章 控制系统的数学模型

2-2 (a)

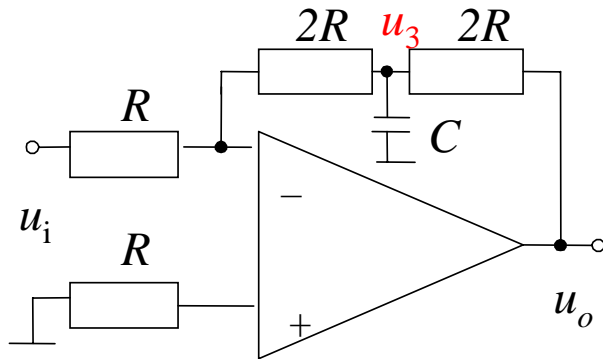


$$\frac{u_i}{R} + \frac{u_i - u_o}{R + \frac{1}{Cs}} = 0$$

传递函数 $G = \frac{u_o}{u_i}$ 而非 $\frac{u_i}{u_o}$

第二章 控制系统的数学模型

2-2 (b)



$$\frac{u_i}{R} + \frac{u_3}{2R} = 0$$

$$\frac{u_3}{2R} + \frac{u_3}{\frac{1}{Cs}} + \frac{u_3 - u_o}{2R} = 0$$

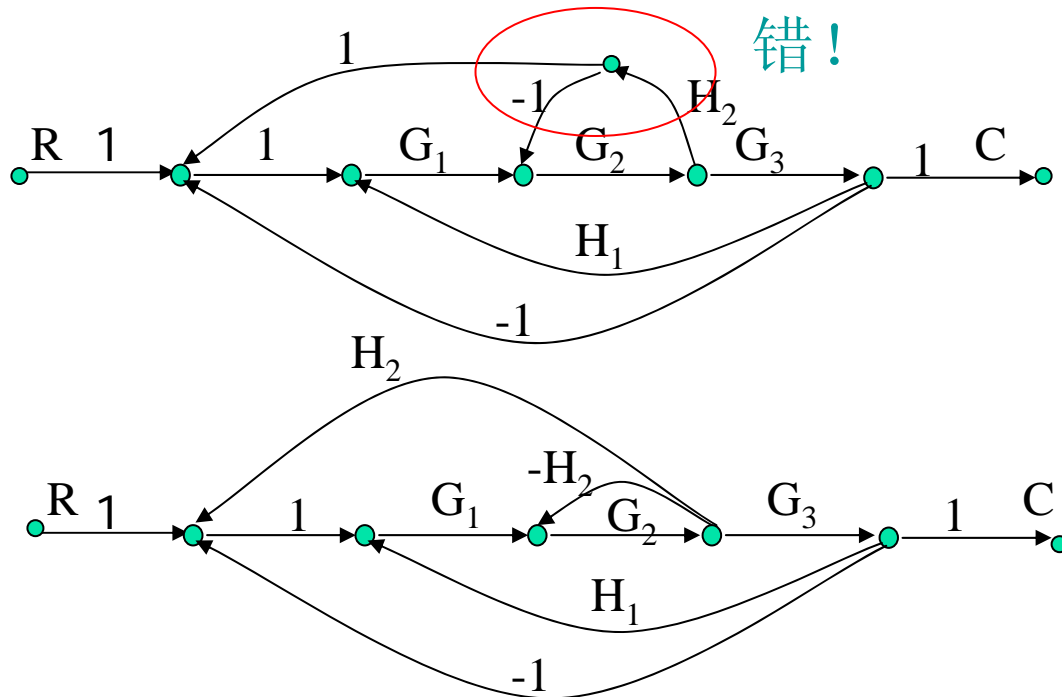
注意符号！

第二章 控制系统的数学模型

2-5

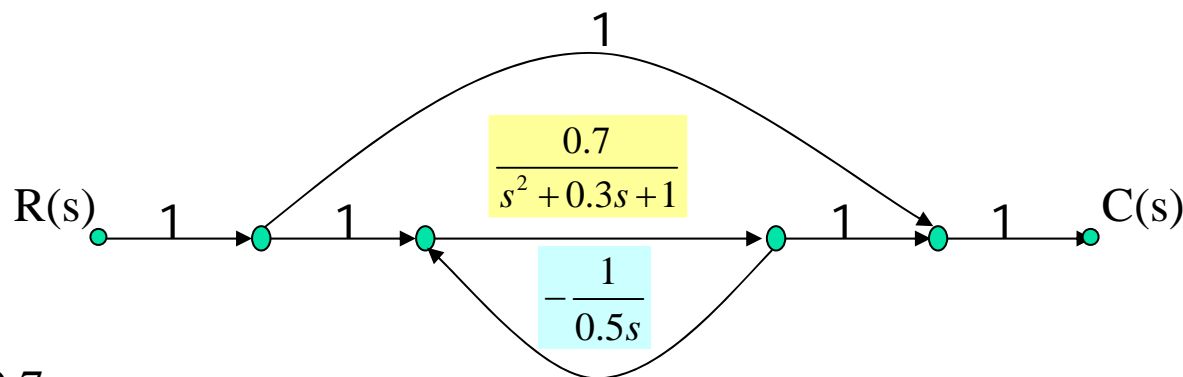
1 注意正，负反馈！

2 注意 G_2 后的出点后移到 G_3 后使 H_2 反馈变成 H_2/G_3



第二章 控制系统的数学模型

2-6



$$P_1 = \frac{0.7}{s^2 + 0.3s + 1} \quad \Delta_1 = 1$$

$$P_2 = 1 \quad \Delta_2 = 1 - \left(-\frac{1}{0.5s} * \frac{0.7}{s^2 + 0.3s + 1} \right)$$

$$\Delta = 1 - \left(-\frac{1}{0.5s} * \frac{0.7}{s^2 + 0.3s + 1} \right)$$

$$P = \frac{1}{\Delta} \sum_k P_k \Delta_k$$

Δ_k 表示信号流程图中除去与第 k 条前向通道 P_k 相接触的支路和节点后余下的信号流程图的特征式。

而信号流程图的特征式 Δ

$\Delta = 1 -$ （所有不同回路的增益之和）

$+（$ 每两个互不接触回路增益乘积之和）

$-（$ 每三个互不接触回路增益乘积之和）

$+$

第二章 控制系统的数学模型

2.7

1. 初始条件为0时, $H(s) = \frac{1}{s^2 + 3s + 1} = \frac{C(s)}{R(s)}$

现 $s^2 c(s) - sc(0) - c'(0) + 3sc(s) - 3c(0) + c(s) = R(s)$

代入 $c(0) = -1, c'(0) = 0: s^2 c(s) + 3sc(s) + c(s) + s + 3 = R(s)$

当 $r(t) = 1(t), R(s) = 1/s$

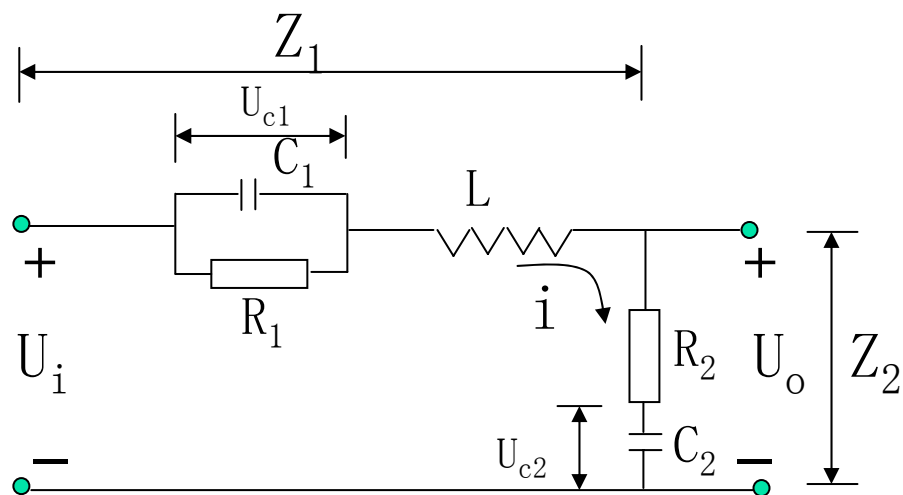
则 $C(s) = \frac{1 - s^2 - 3s}{s^3 + 3s^2 + s}$

$$C(t) = 1(t) + \frac{4}{3\sqrt{5} + 5} e^{\frac{-3+\sqrt{5}}{2}t} + \frac{4}{5-3\sqrt{5}} e^{\frac{-3-\sqrt{5}}{2}t}$$

2. $ess = 6$

第二章 控制系统的数学模型

习题练习



解：由基尔霍夫电压、电流定律的系统微分方程：

$$u_i = u_{c1} + L \frac{di}{dt} + R_2 i + u_{c2}$$

$$i = C_1 \frac{du_{c1}}{dt} + \frac{u_{c1}}{R_1}$$

$$i = C_2 \frac{du_{c2}}{dt}$$

$$u_o = R_2 i + u_{c2}$$

- (1) 列出系统的微分方程；
- (2) 确定其传递函数 (系统初值为零)

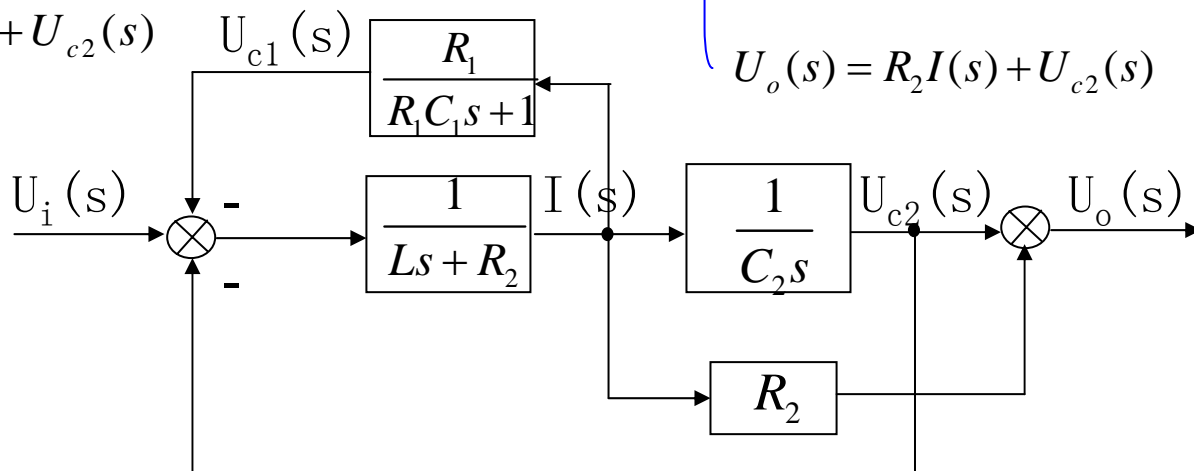
第二章 控制系统的数学模型

已知初值为零，对上式拉氏变换：

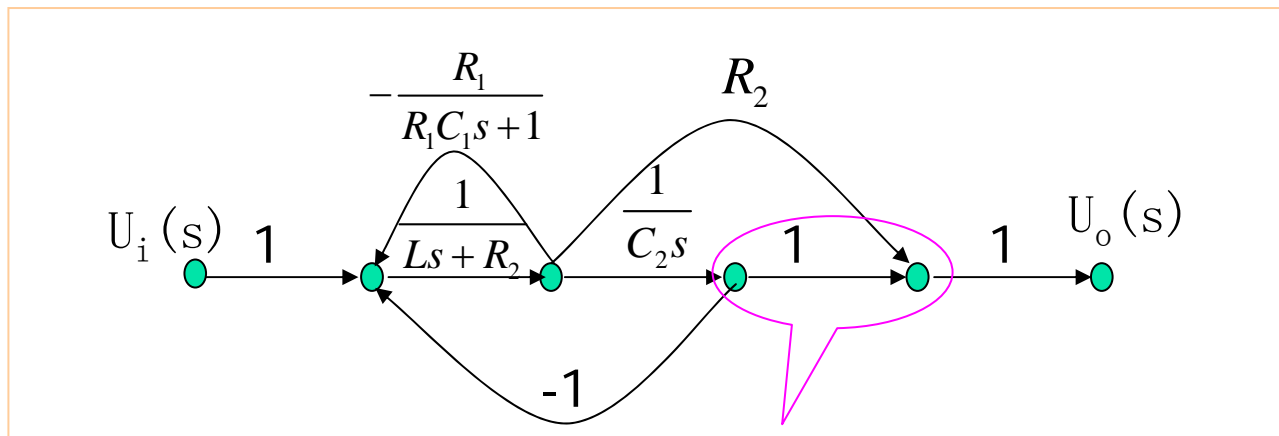
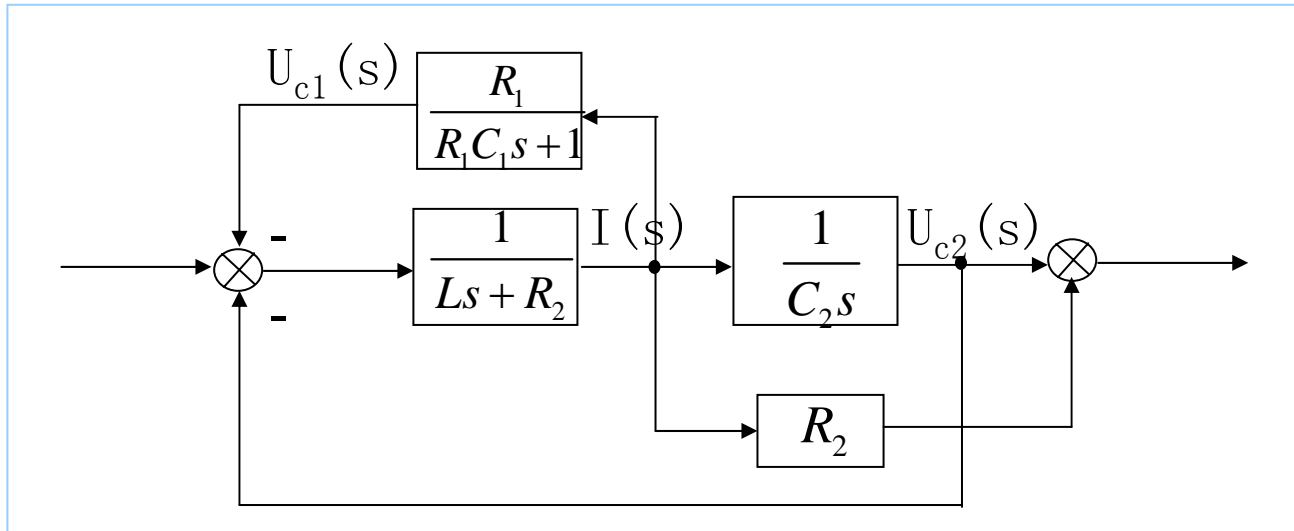
$$\left\{ \begin{array}{l} U_i(s) = U_{c1}(s) + LsI(s) + R_2I(s) + U_{c2}(s) \\ I(s) = C_1sU_{c1}(s) + \frac{1}{R_1}U_{c1}(s) \\ I(s) = C_2sU_{c2}(s) \\ U_o(s) = R_2I(s) + U_{c2}(s) \end{array} \right.$$



$$\left\{ \begin{array}{l} I(s) = \frac{U_i(s) - U_{c1}(s) - U_{c2}(s)}{Ls + R_2} \\ U_{c1}(s) = \frac{1}{C_1s + \frac{1}{R_1}}I(s) = \frac{R_1}{R_1C_1s + 1}I(s) \\ U_{c2}(s) = \frac{1}{C_2s}I(s) \\ U_o(s) = R_2I(s) + U_{c2}(s) \end{array} \right.$$

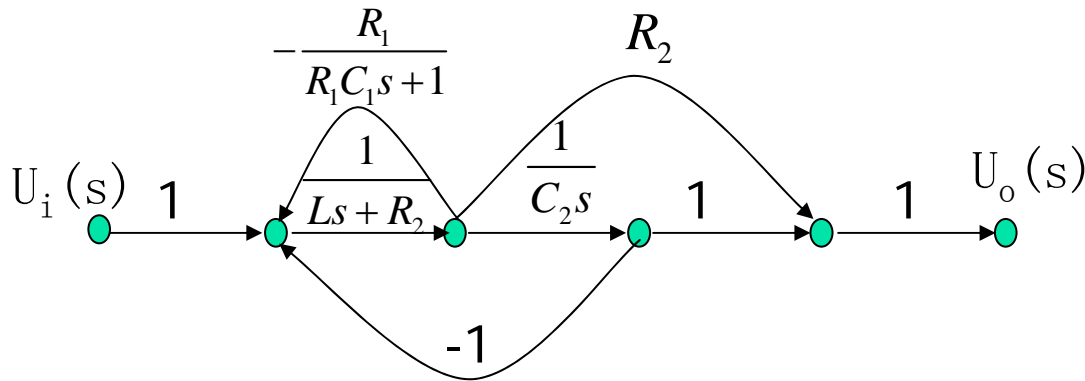


第二章 控制系统的数学模型



可以合二为一?

第二章 控制系统的数学模型



$$P_1 = \frac{1}{C_2s(Ls + R_2)} \quad \Delta_1 = 1$$

$$P_2 = \frac{R_2}{Ls + R_2} \quad \Delta_2 = 1$$

$$\Delta = 1 + \frac{R_1}{(Ls + R_2)(R_1C_1s + 1)} + \frac{1}{C_2s(Ls + R_2)}$$

$$\frac{U_o(s)}{U_i(s)} = \frac{P_1\Delta_1 + P_2\Delta_2}{\Delta}$$

$$= \frac{R_1R_2C_1C_2s^2 + (R_1C_1 + R_2C_2)s + 1}{R_1C_1C_2Ls^3 + (R_1R_2C_1C_2 + C_2L)s^2 + (R_1C_1 + R_2C_2 + R_1C_2)s + 1}$$

第二章 控制系统的数学模型

■ 求传递函数，还可以用第二种方法：应用阻抗法直接求电路的传递函数。

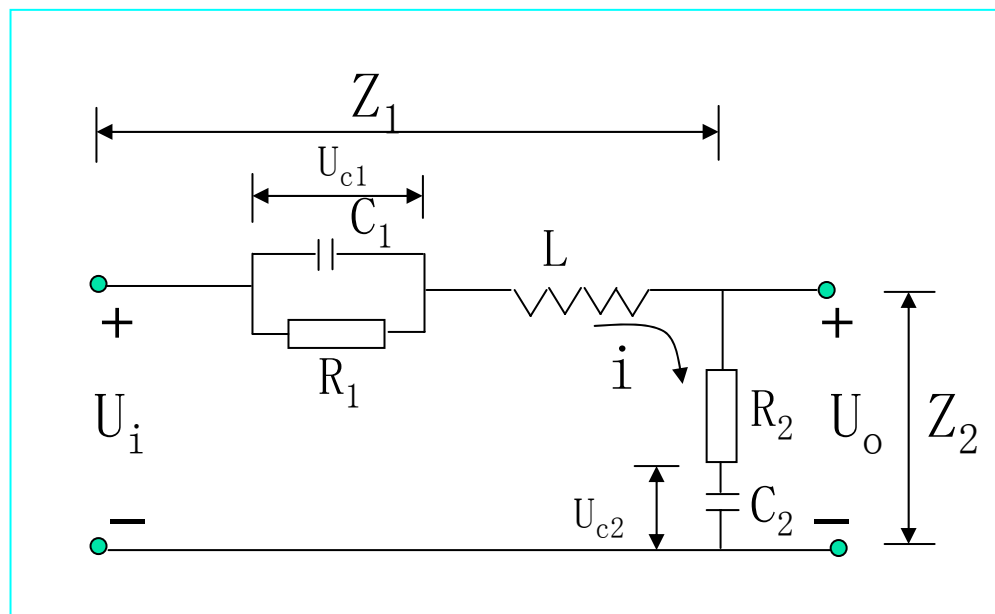
由图所示可知：

$$Z_1 = Ls + \frac{1}{C_1s} \parallel R_1 = Ls + \frac{R_1}{R_1C_1s + 1}$$

$$Z_2 = R_2 + \frac{1}{C_2s}$$

$$\frac{U_o(s)}{U_i(s)} = \frac{Z_1}{Z_1 + Z_2} = \frac{Ls + \frac{R_1}{R_1C_1s + 1}}{Ls + \frac{R_1}{R_1C_1s + 1} + R_2 + \frac{1}{C_2s}}$$

$$= \frac{R_1R_2C_1C_2s^2 + (R_1C_1 + R_2C_2)s + 1}{R_1C_1C_2Ls^3 + (R_1R_2C_1C_2 + C_2L)s^2 + (R_1C_1 + R_2C_2 + R_1C_2)s + 1}$$



第三章 控制系统的时域分析法

习题答案

3—1 (1,2) 1.稳定2.不稳定

3-1(3) 不稳定

3—1 临界稳定，虚根： $s_{1,2} = \pm j\sqrt{2}$ $s_{3,4} = \pm j$

(4)
3—2 $K > 0$ 系统稳定

(1)
3—2 无论K取何值都不能使系统稳定

(2)
3—2 $0 < K < 3$ 时，系统稳定

(3)

第三章 控制系统的时域分析法

习题解析

3-1 (4)

$$s^6 + 3s^5 + 5s^4 + 9s^3 + 8s^2 + 6s + 4 = 0$$

$$S^6 \quad 1 \quad 5 \quad 8 \quad 4$$

$$S^5 \quad 3 \quad 9 \quad 6$$

$$S^4 \quad 1 \quad 3 \quad 2$$

$$S^3 \quad 2 \quad 3$$

$$S^2 \quad 3 \quad 4$$

$$S^1 \quad 1$$

$$S^0 \quad 4$$

$$\text{辅助方程: } s^4 + 3s^2 + 2 = 0$$

$$\text{求导: } 4s^3 + 6s = 0$$

所以该系统为临界稳定，其虚根：


$$s_{1,2} = \pm j\sqrt{2} \quad s_{3,4} = \pm j$$

第三章 控制系统的时域分析法

3-2 (1)

$$(s+1)(0.1s+1)+K=0$$


$$0.1s^2+1.1s+1+K=0$$


$$K > -1$$

注意： K为开环系统的增益，不可能为负值。

故**K>0**时，整个系统稳定

第三章 控制系统的时域分析法

3-3

$$s(\tau s + 1)(2s + 1) + K(s + 1) = 0$$

$$2\tau s^3 + (2 + \tau)s^2 + (1 + K)s + K = 0$$

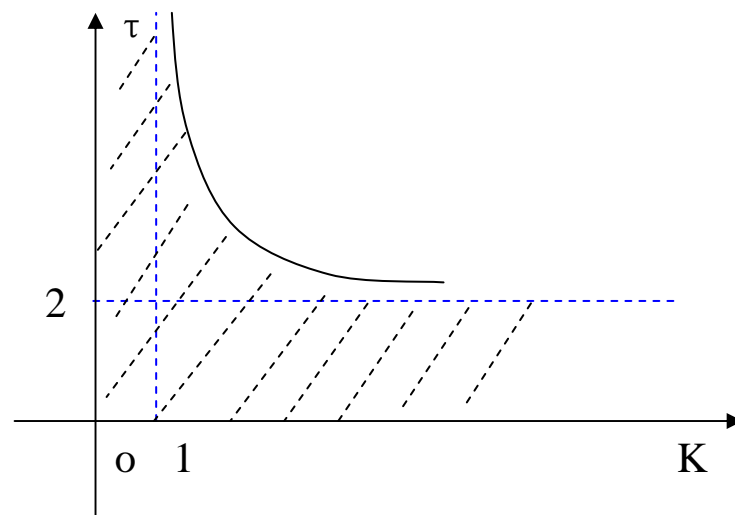
| | | |
|-------|-------------------------------|---------|
| s^3 | 2τ | $1 + K$ |
| s^2 | $2 + \tau$ | K |
| s^1 | $(2 + \tau)(1 + K) - 2\tau K$ | |
| s^0 | K | |

$$\Rightarrow \begin{cases} 2\tau > 0 \\ K > 0 \\ (2 + \tau)(1 + K) - 2\tau K > 0 \end{cases}$$

第三章 控制系统的时域分析法

→
$$\begin{cases} \tau > 0 \\ (1-K)\tau + 2(K+1) > 0 \\ K > 0 \end{cases}$$

→
$$\begin{cases} \tau > 0 & K > 0 \\ \text{当 } 0 < K < 1 \text{ 时 恒成立} \\ \text{当 } K > 1 \text{ 时 } \tau < 2 + 4/(K-1) \end{cases}$$



第三章 控制系统的时域分析法

3-6

1. $K_p = 50$ $K_v = 0$ $K_s = 0$

2. $K_p = \infty$ $K_v = K$ $K_s = 0$

3. $K_p = \infty$ $K_v = \infty$ $K_s = K/10$

4. $K_p = \infty$ $K_v = K/200$ $K_s = 0$

第三章 控制系统的时域分析法

3-7

1. 0

2. $0.1R_1$

$R_2 = 0$ 时, $ess = 0$

3. $R_2 \neq 0$ 时, $ess = \infty$

第三章 控制系统的时域分析法

3-10

$$(1) \quad e_{ss} = \lim_{s \rightarrow 0} s \frac{\frac{1}{s^2}}{1 + \frac{\omega_n^2}{s(s + 2\xi\omega_n)}} = \lim_{s \rightarrow 0} \frac{1}{s + \frac{\omega_n^2}{s + 2\xi\omega_n}} = \frac{2\xi}{\omega_n}$$

$$(2) \quad \begin{cases} C(s) = \frac{\omega_n^2}{s^2 + 2\xi\omega_n s + \omega_n^2} (1 + as) R(s) \\ E(s) = R(s) - C(s) = \frac{s - (a\omega_n^2 - 2\xi\omega_n)}{s(s^2 + 2\xi\omega_n s + \omega_n^2)} \\ e_{ss} = \lim_{s \rightarrow 0} s g E(s) = 0 \quad \Longrightarrow \quad a\omega_n^2 - 2\xi\omega_n = 0 \quad \Longrightarrow \quad a = \frac{2\xi}{\omega_n} \end{cases}$$

3-11

$$\begin{cases} \sigma_p = e^{-\left(\frac{\xi\pi}{\sqrt{1-\xi^2}}\right)} = 0.096 \\ t_p = \frac{\pi}{\sqrt{1-\xi^2}\omega_n} = 0.2 \end{cases} \quad \Longrightarrow \quad \begin{cases} \xi = 0.6 \\ \omega_n = 19.6 \end{cases}$$

第三章 控制系统的时域分析法

3-12

设

$$G(s) = k / as^3 + bs^2 + cs + d$$

$$ess = \lim_{s \rightarrow 0} \frac{G(s)}{1 + G(s)} = \frac{k}{as^3 + bs^2 + cs + d} = 0 \text{ 得 } d=0$$

$$\text{又 } \frac{C(s)}{R(s)} = \frac{G(s)}{1 + G(s)} = \frac{k}{as^3 + bs^2 + cs + d}$$

$$\text{系统特征方程: } s^3 + 4s^2 + 6s + 4 = 0$$

$$\text{比较得: } a = 1, b = 4, c = 6, k = 4$$

$$\text{所以 } G(s) = \frac{4}{s^3 + 4s^2 + 6s}$$

第三章 控制系统的时域分析法

3.13

$$\text{设 } G(s) = \frac{cs+d}{s(s^2+as+b)}$$

$$\text{又 } \lim_{s \rightarrow 0} 1/sG(s) = 2.0 \text{ 得 } 2d=b$$

$$\text{特征多项式: } s^3 + as^2 + bs + d = 0$$

$$\text{设另一极点为 } e \text{ (} e < 5 \text{)}, \text{ 则特征多项式: } (s+e)(s^2+2s+2)$$

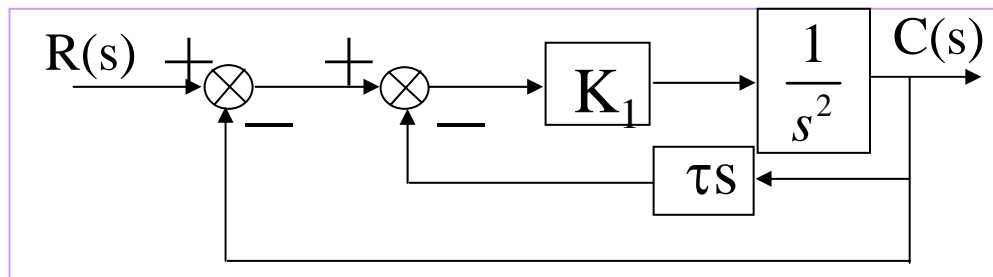
第三章 控制系统的时域分析法

二阶系统, $R(s)=1/s$, $\sigma_p=0.2$, $t_s=1.8s$
时, 试确定 K_1 、 τ 值。

当输入信号分别为:

$r(t)=1(t)$, $r(t)=t$, $r(t)=1/2t^2$ 时,

试求系统的稳定误差。



$$G(s) = \frac{K_1}{s(s + K_1\tau)} = \frac{\omega_n^2}{s(s + 2\xi\omega_n)} \quad \sigma_p = e^{-\pi\xi/\sqrt{1-\xi^2}} = 0.2 \quad t_s = \frac{3}{\xi\omega_n} = 1.8(s)$$

$$\xi = \sqrt{\frac{(\ln \sigma)^2}{\pi^2 + (\ln \sigma)^2}} = 0.456$$

$$\omega_n = \frac{3}{\xi t_s} = \frac{3}{0.456 \times 1.8} = 3.655(s^{-1})$$

$$K_1 = \omega_n^2 = 13.36$$

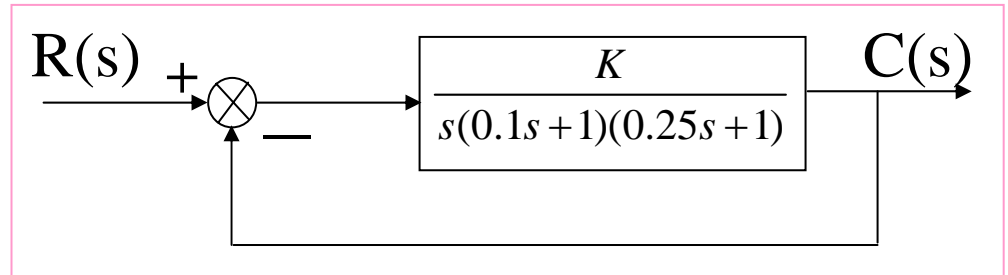
$$\tau = \frac{2\xi}{\omega_n} \approx 0.2s$$

$$e_{ss} = \lim_{s \rightarrow 0} \frac{s \cdot R(s)}{1 + G(s)} = \begin{cases} \frac{R}{1 + \lim_{s \rightarrow 0} G(s)} = 0, R(s) = \frac{1}{s} \\ \frac{R}{\lim_{s \rightarrow 0} s \cdot G(s)} = \tau = 0.2, R(s) = \frac{1}{s^2} \\ \frac{R}{\lim_{s \rightarrow 0} s^2 \cdot G(s)} = \infty, R(s) = \frac{1}{s^3} \end{cases}$$

第三章 控制系统的时域分析法

(1) 为使闭环系统稳定，
确定K的取值范围。

(2) 当K为何值时系统出现
等幅振荡，并确定等幅振荡
的频率。



(3) 为使系统的闭环极点全部处于s
平面左移一个单位后的左侧，试确定
K的取值范围。

第三章 控制系统的时域分析法

解：系统闭环特征方程：

$$s^3 + 2s^2 + s + 40K = 0$$

| | | |
|-------|---------|-------|
| s^3 | 1 | 1 |
| s^2 | 2 | $40K$ |
| s^1 | $1-20K$ | |
| s^0 | 40 | |

■ 使系统稳定的K值为 $(1-20K) > 0, 40K > 0$, 即 $0 < K < 0.05$

■ 等幅振荡时 $1-20K=0 \rightarrow K=0.05$

辅助方程： $2s^2 + 40K = 0$

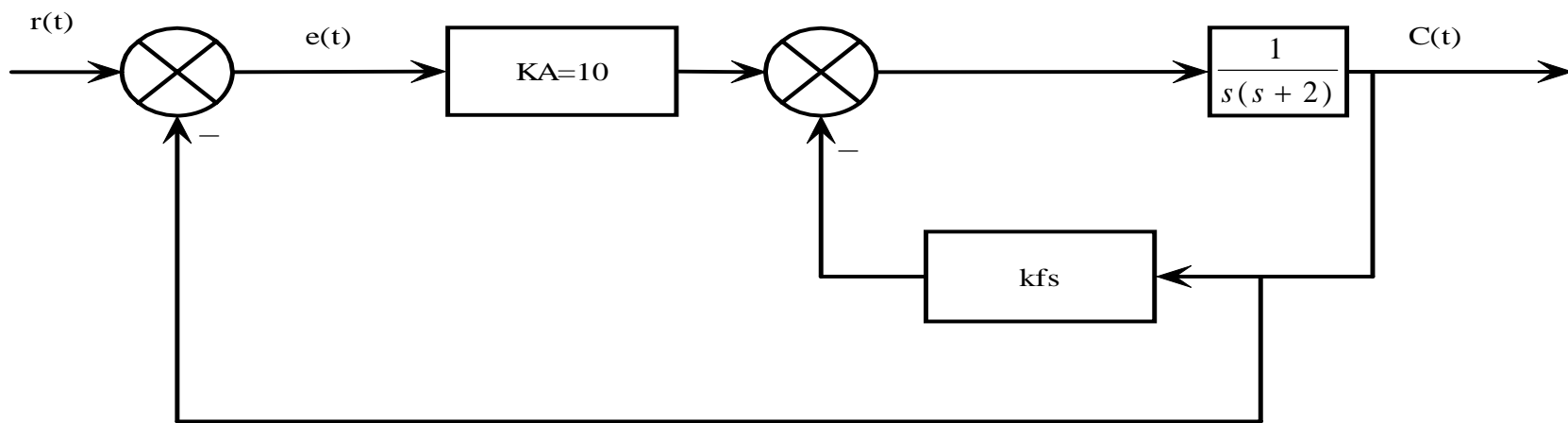
解得： $s_{1,2} = \pm j$ ，等幅振荡频率 $\omega = 1 \text{ rad/s}$

■ 令 $s = s_1 - 1$ 代入原方程，得新特征方程：

$$s_1^3 - s_1^2 + 40K = 0$$

由稳定性的必要条件可知，不论K取何值，都不可能使闭环极点处于s平面得虚轴左移一个单位得左侧。

第三章 控制系统的时域分析法



1. 当 $K_f=0$ 时, 求阻尼比 ξ , 固有频率 ω_n , 单位斜坡输入时系统稳态误差
2. 当 $\xi=0.6$, 确定系统 K_f , 单位斜坡输入时稳态误差

$$1, K_f=0 \text{ 开环 } G(s) = \frac{10}{s(s+2)}, \text{ 开环增益 } K_1=5, v=1$$

$$\text{闭环 } \Phi(s) = \frac{10}{s^2 + 2s + 10}$$

$$\omega_n = \sqrt{10} = 3.16, \xi_1 = \frac{2}{2 * 3.16} = 0.316$$

$$ess_1 = \frac{1}{K} = 0.2$$

$$2, kf \neq 0$$

$$G_2(s) = 10 * \frac{\frac{1}{s(s+2)}}{1 + \frac{kfs}{s(s+2)}} = \frac{10}{s(s+2+kf)}$$

$$k_2 = \frac{10}{2+k_f}, v=1$$

$$\Phi_2(s) = \frac{10}{s^2 + (2+kf)s + 10}, \omega_n = 3.16, \xi_2 = \frac{2+k_f}{2 * 3.16} = 0.6$$

$$\text{得 } kf = 1.896, ess_2 = 0.39$$

第四章 根轨迹法

4-2 习题答案

(1) 根轨迹的起迄点：3个开环极点（0，-2，-4），无零点。

3条根轨迹均沿渐近线趋向无穷远。

(2) 实轴上的根轨迹：0到-2，-4到 $-\infty$ 的线段

(3) 渐近线：相角 $\alpha = \frac{\pm 180^\circ(2k+1)}{3}$ 为 60° ， 180° ， 300° （ -60° ）

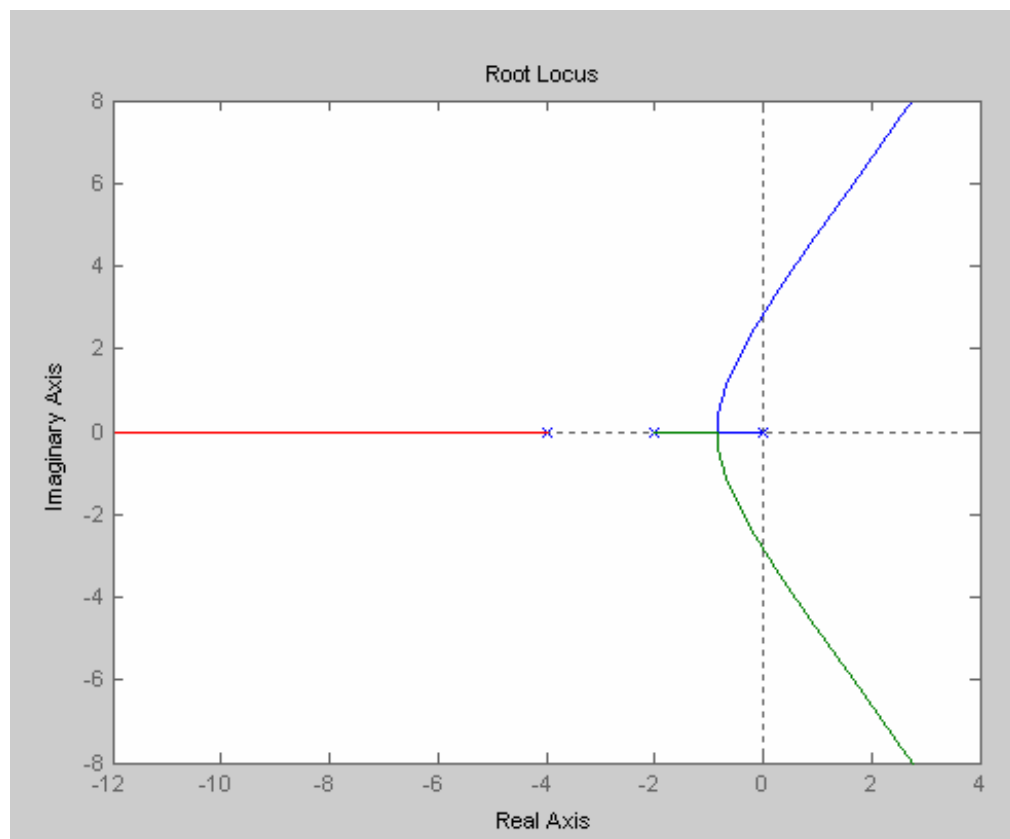
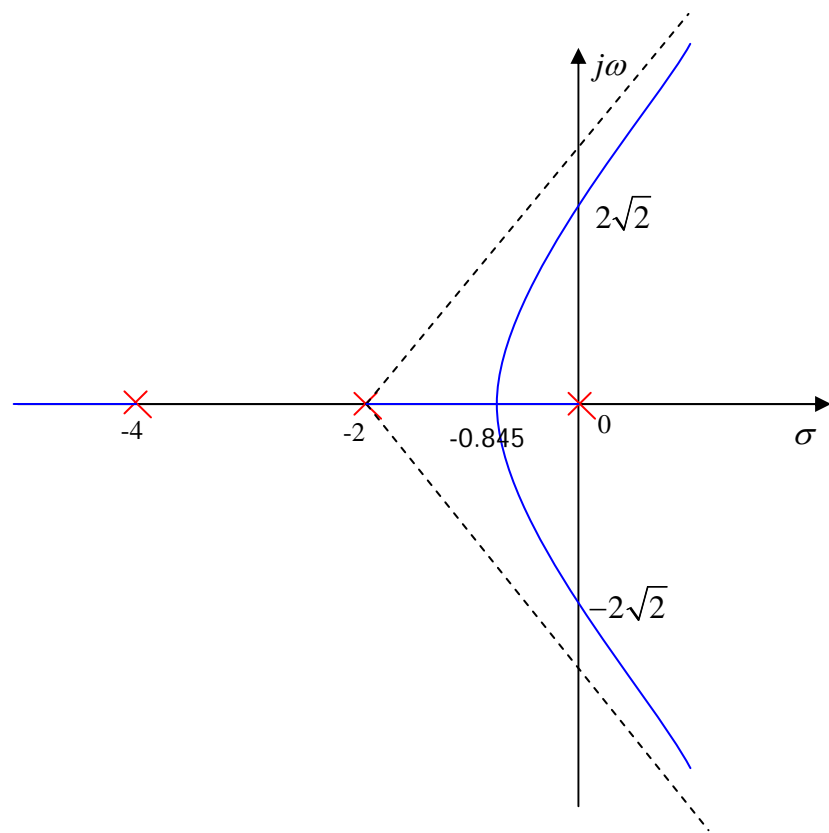
与实轴的交点 $\sigma_\alpha = \frac{-2-4}{3} = -2$

(4) 分离点： $\frac{dK}{ds} = -(3s^2 + 12s + 8) = 0$ $s_1 = -0.8453, s_2 = -3.1547$ (舍去)

第四章 根轨迹法

(5) 与虚轴的交点 $(j\omega)^3 + 6(j\omega)^2 + 8(j\omega) + K = 0$

得到 $\omega = \pm 2\sqrt{2}$ $K = 48$



第四章 根轨迹法

主导极点的阻尼比 $\xi=0.707$ ，得到 $\theta=\cos^{-1}0.707=45^\circ$ ，在根轨迹图中作 45° 的线，得到一对共轭极点：

则

$$K = |s(s+2)(s+4)|_{s=-0.755+0.755j} \approx 5.2$$

设另一个极点 s_3 ，则

得到 $s_3=-4.472$

$$(s-s_3)(s+0.755+0.755j)(s+0.755-0.755j) = s(s+2)(s+4) + 5.2$$

(求共轭极点时也可以用代数解：令 $s_{1,2}=a\pm aj$ ，带入特征方程式得到 $s_1(s_1+2)(s_1+4)+K=0$ ，解得 $a=-3+\sqrt{5}$ ， $K=8(7\sqrt{5}-15)$ ，求另一个极点方法和上面一样用待定系数法)

第四章 根轨迹法

更普遍的是，

令 $s_{1,2} = -\varepsilon \omega_n \pm j \omega_n (1 - \varepsilon^2)^{1/2}$, ε 已知

将上式代入特征方程 $D(s) = 0$,

根据复数相等可得 ω_n 和 k

第四章 根轨迹法

```
% -----(1)----- %  
%K/s(s+2)(s+4)  
z=[];  
p=[0 -2 -4];  
k=1;  
g=zpk(z,p,k);  
rlocus(g)
```

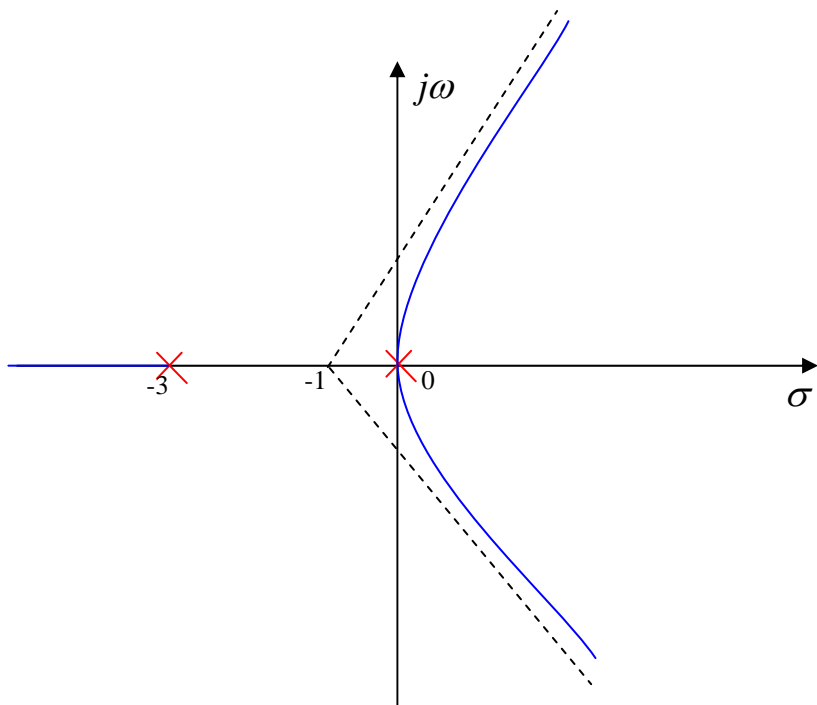
```
% -----(2)----- %  
[k,poles]=rlocfind(g)  
while(abs(k-5.2)>0.1)      % abs(k-5.2)>0.05  
[k,poles]=rlocfind(g);  
end  
p1=poles(1)
```

第四章 根轨迹法

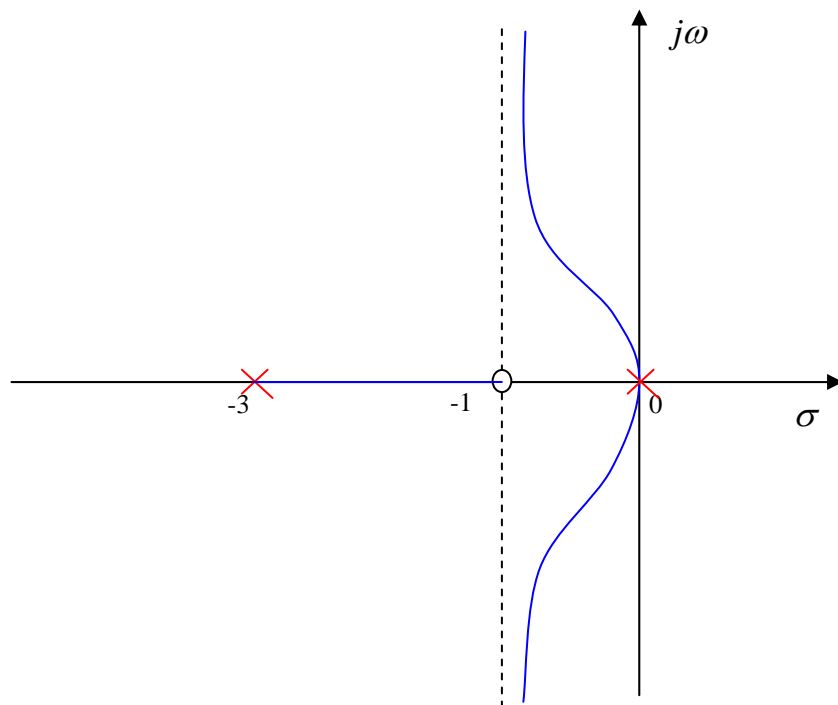
4-3

解题步骤和4-2一样，根轨迹图如下：

$$G(s) = K/s^2(s+3)$$



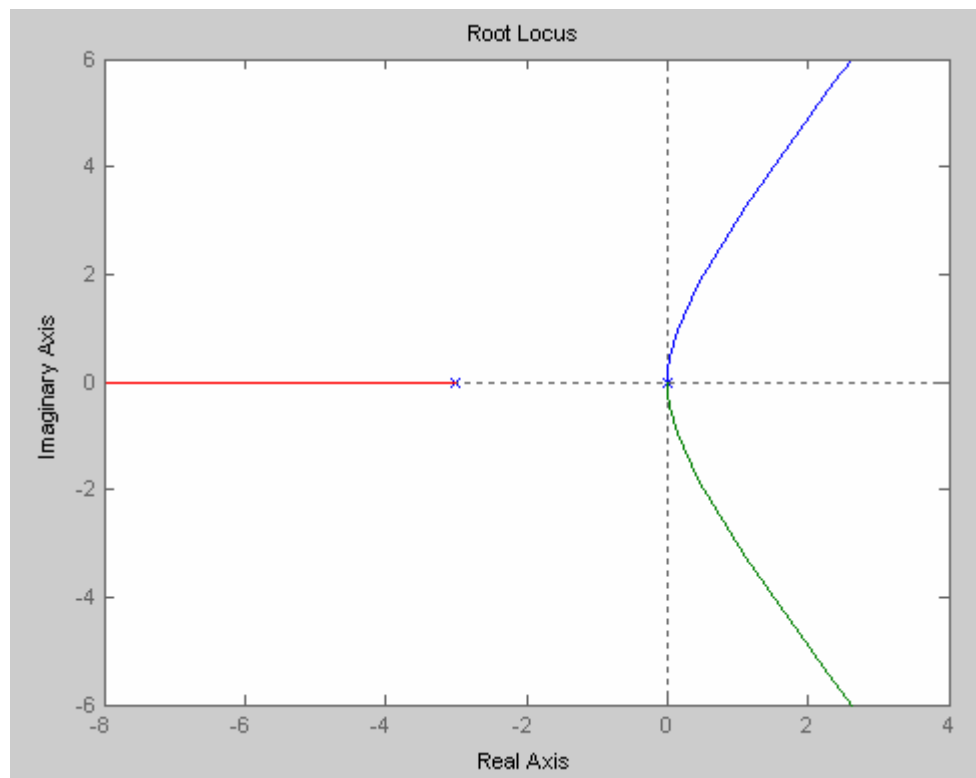
$$G(s) = K(s+1)/s^2(s+3)$$



第四章 根轨迹法

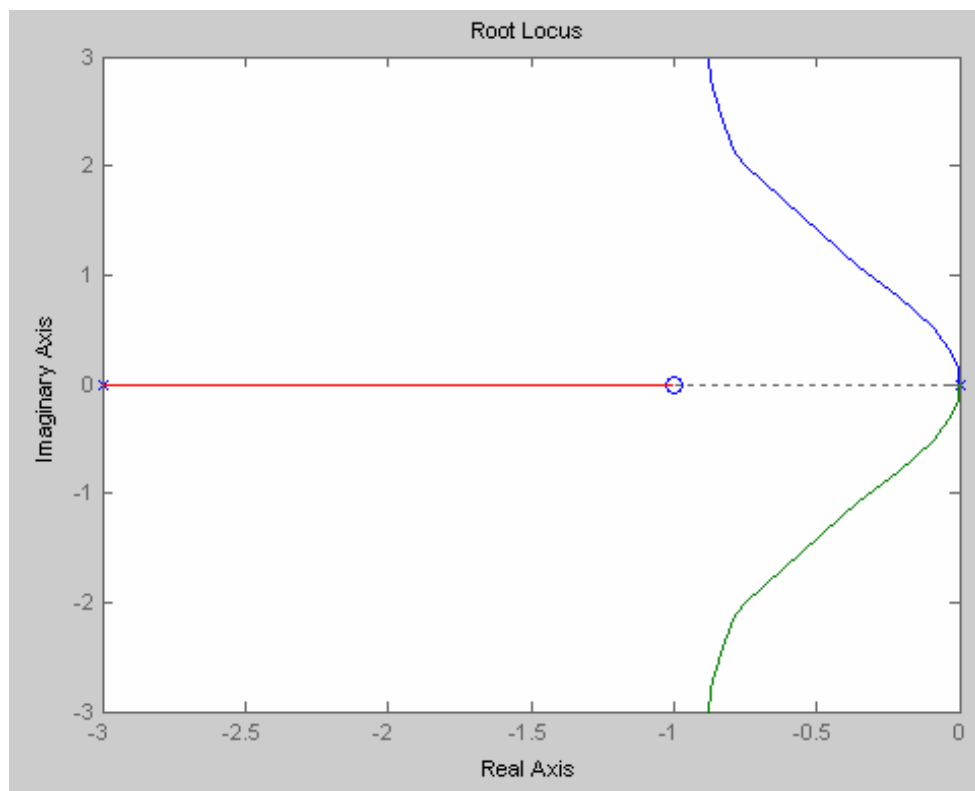
Matlab实现

```
% -----(1)----- %  
%K/s^2(s+3)  
z=[];  
p=[0 0 -3];  
k=1;  
g1=zpk(z,p,k);  
rlocus(g1)
```



第四章 根轨迹法

```
% -----(2)----- %  
%K(s+1)/s^2(s+3)  
z=[-1];    % 增加了一个-1的零点  
p=[0 0 -3];  
k=1;  
g2=zpk(z,p,k);  
rlocus(g2)
```



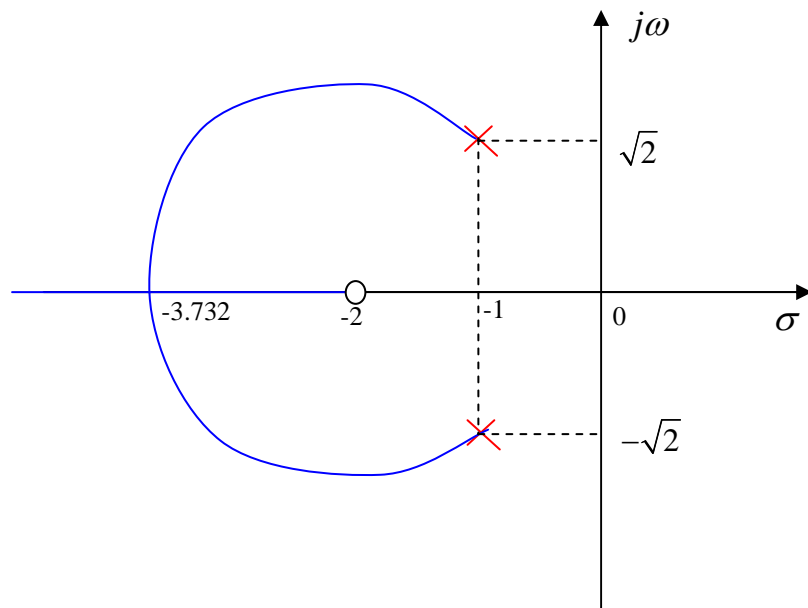
第四章 根轨迹法

4-4

解题步骤和4-2一样，增加计算出射角：

极点 $-1+\sqrt{2}j$ 的出射角为 $\varphi_p = \text{ml } 80^\circ(2k+1) + \tan^{-1} \sqrt{2} - 90^\circ \approx 145^\circ$

极点 $-1-\sqrt{2}j$ 的出射角为 $\varphi_p = \text{ml } 80^\circ(2k+1) - \tan^{-1} \sqrt{2} + 90^\circ \approx 215^\circ$



在极点 $-1\pm\sqrt{2}j$ 的阻尼比为
0.577，显然阻尼比为0.5的相应
闭环极点和K值不存在。

第四章 根轨迹法

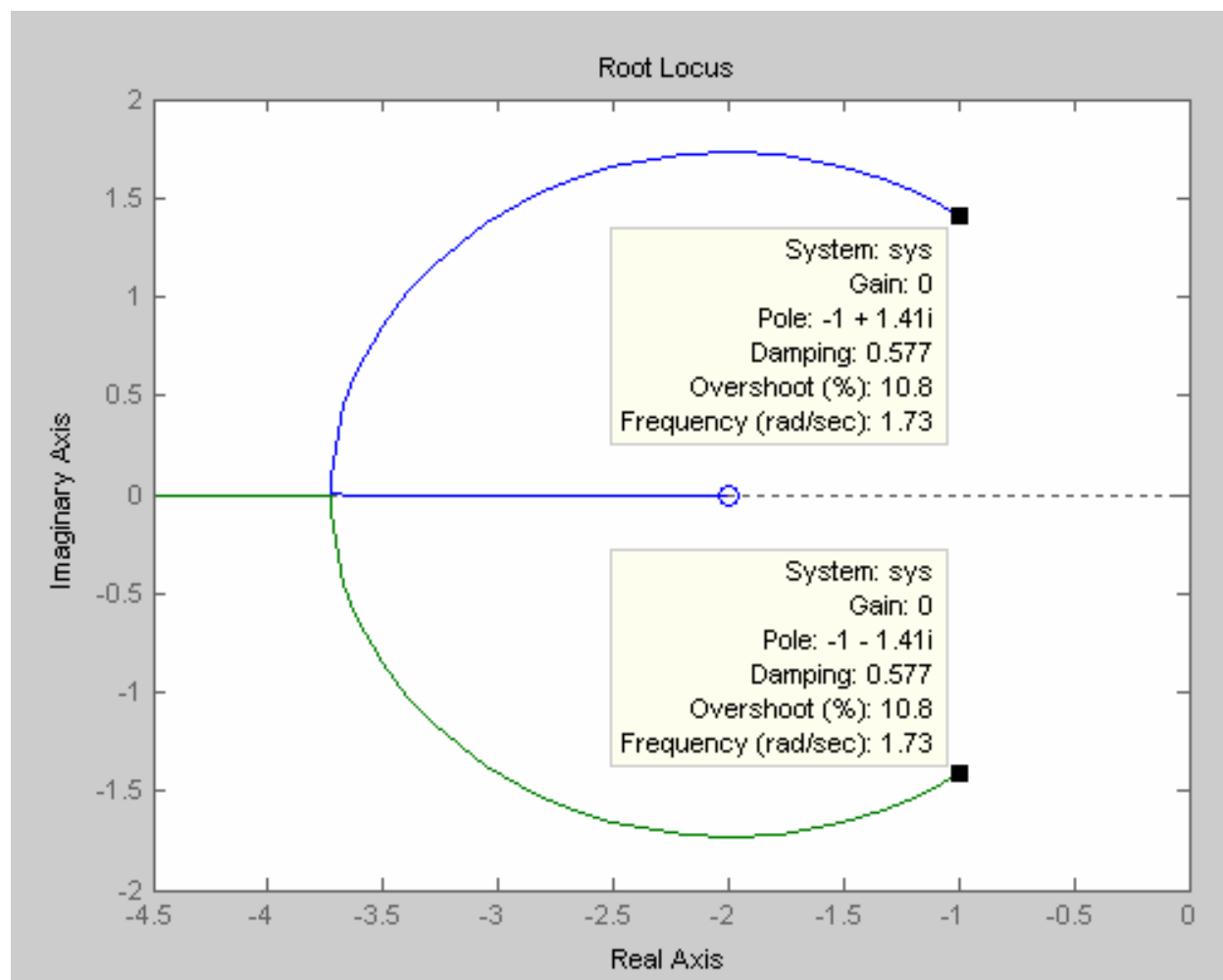
Matlab实现

```
%K(s+2)/(s^2+2s+3)
```

```
n=[1 2];
```

```
d=[1 2 3];
```

```
rlocus(n,d)
```



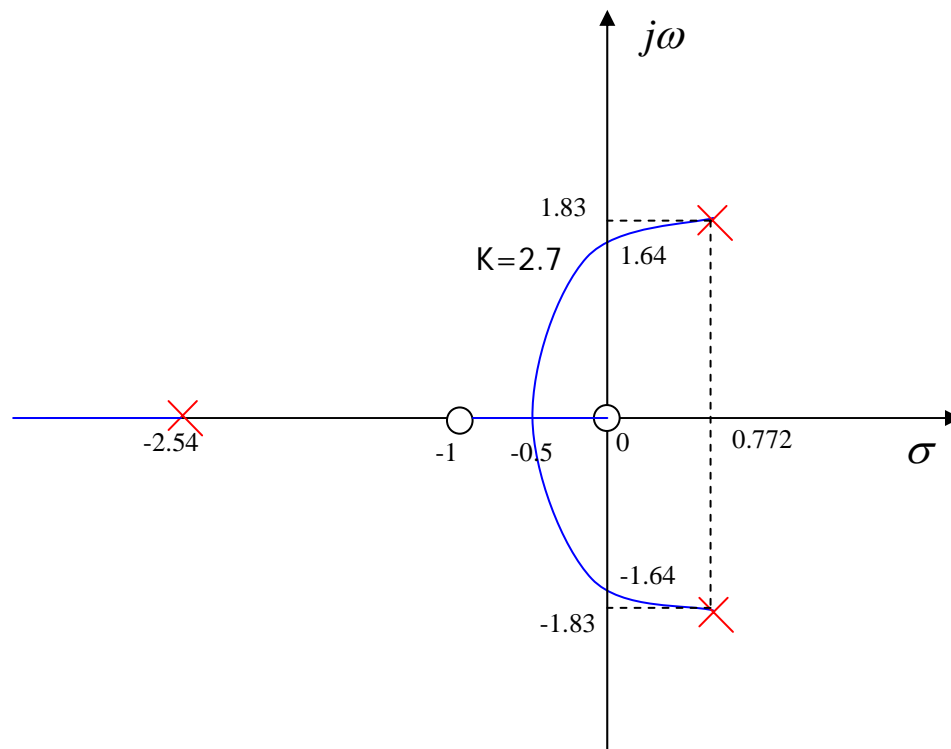
第四章 根轨迹法

4-7

系统的特征方程 $10 + s(s+1)(s+a) = 0$

得到: $1 + \frac{(s^2 + s)a}{s^3 + s^2 + 10} = 0$

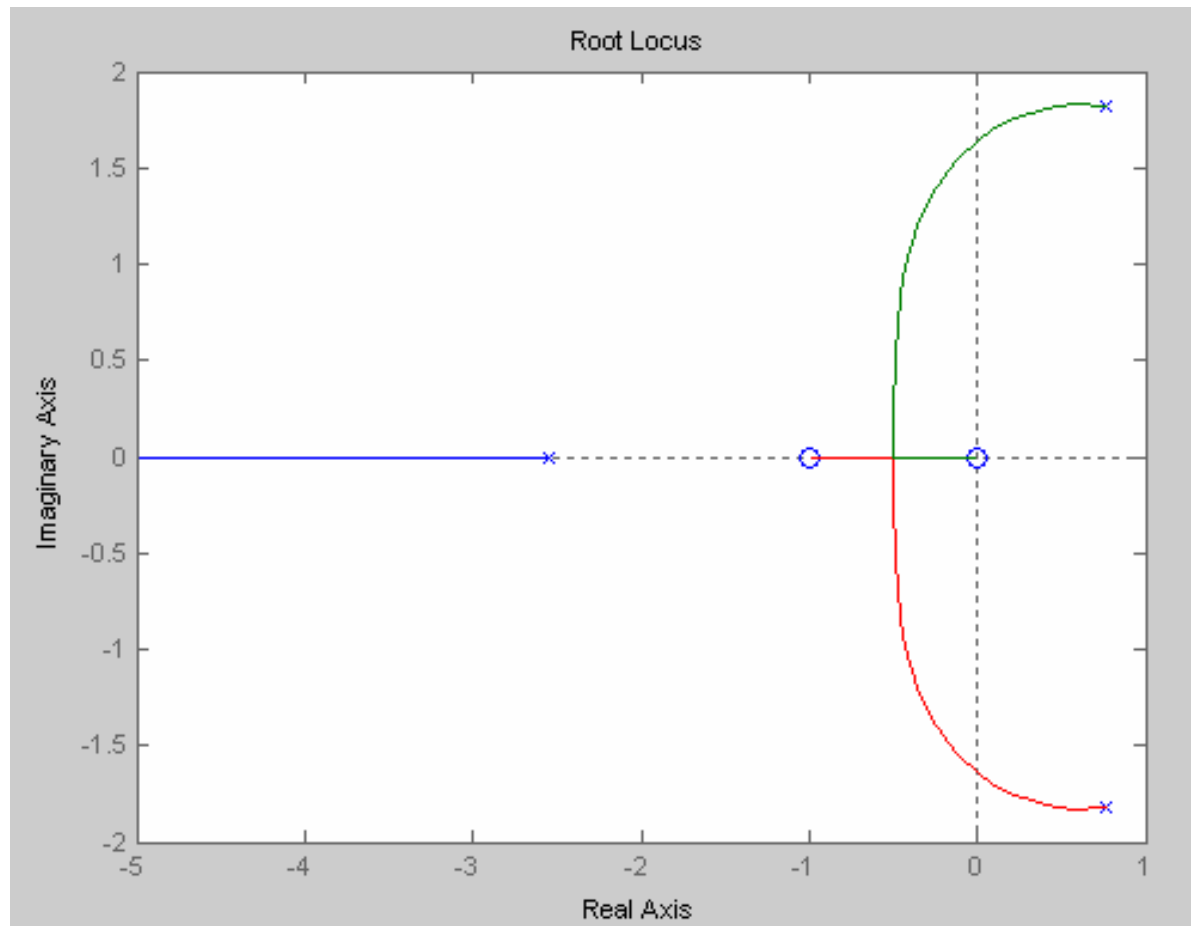
类似求 $G'(s) = \frac{(s^2 + s)K}{s^3 + s^2 + 10}$ 的单位负反馈系统的根轨迹，解题步骤和4-2一样，其中 $K=a$ 。



第四章 根轨迹法

Matlab实现

```
%a(s^2+s)/(s^3+s^2+10)
n=[1 1 0];
d=[1 1 0 10];
rlocus(n,d)
```



第四章 根轨迹法

4-8

内环为正反馈，

$$G(s) = \frac{K}{(s^2 + 0.3s + 1)(s + 2)} = \frac{K}{(s + 0.15 - 0.9887j)(s + 0.15 + 0.9887j)(s + 2)}$$

(1) 开环极点 $-0.15 \pm 0.9887j, -2$
点 (2) 实轴上根轨迹为 -2 到 $+\infty$

(3) 渐近线 $\alpha = \frac{\pm 180^\circ(2k)}{3}$ 得到 $\pm 120^\circ$

$$\sigma_\alpha = \frac{-0.3 - 2}{3} = -0.767$$

(4) 会合点: -0.5333 , 分离点: -1

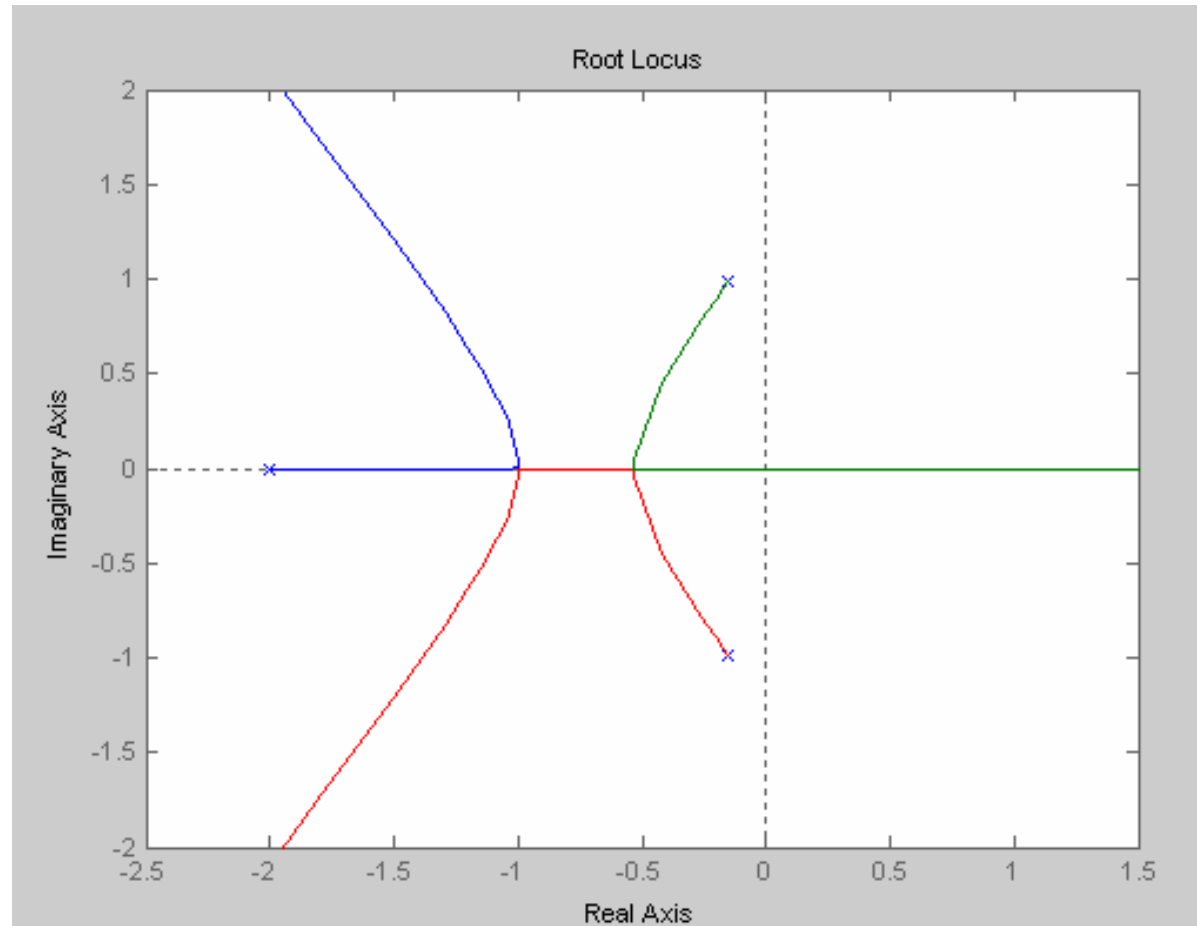
(5) 与虚轴没有交点

当 $K=1$ 时, 内环闭环主导极点为: $1.706, -0.297 \pm 0.706j$

第四章 根轨迹法

Matlab实现

```
n=[-1]; % 正反馈  
d=conv([1 0.3 1],[1 2]);  
rlocus(n,d)
```



第四章 根轨迹法

4-9 由 $\frac{dK}{ds} = \left[-\frac{s^2(s+1)}{s+a} \right]' = \frac{2s^3 + (3a+1)s^2 + 2as}{(s+a)^2} = 0$

得到 $s[2s^2 + (3a+1)s + 2a] = 0$

(1) 当 $a \neq 0$ 时, $s=0$ 为根轨迹的分离点

(2) 系统具有1个分离点 (即 $s=0$) 时,

$$\Delta = (3a+1)^2 - 4 \times 2 \times 2a < 0$$

即 $\frac{1}{9} < a < 1$

(3) 系统具有2个分离点 (包括 $s=0$) 时

$$\Delta = (3a+1)^2 - 4 \times 2 \times 2a = 0$$

即 $a = \frac{1}{9}, a = 1$ 若 $a=1$ 则 $G(s)$ 零极点抵消, 变成 K/s^2 , 其根轨迹只有一个 ($s=0$) 分

第四章 根轨迹法

(4) 系统具有3个（包括 $s=0$ ）分离点时，

$$\Delta = (3a+1)^2 - 4 \times 2 \times 2a > 0$$

即
$$a < \frac{1}{9}, a > 1$$

对 $a < 1/9$ ，因前提是 $a \neq 0$ ，所以分成 $0 < a < 1/9$ 和 $a < 0$ 分析：

显然， $0 < a < 1/9$ 时系统是具有3个分离点，但是 $a < 0$ 时，系统具有正的零点，根据作图可以发现，实际只有2个分离点。

对 $a > 1$ ，因零点 $-a$ 在极点 -1 左边，根据作图可以发现，实际只有1个分离点。

(5) $a=0$ 时 $G(s)=K/s(s+1)$ ，没有零点，根轨迹只有1个分离点

第四章 根轨迹法

综上所述，系统根轨迹分离点情况分为：

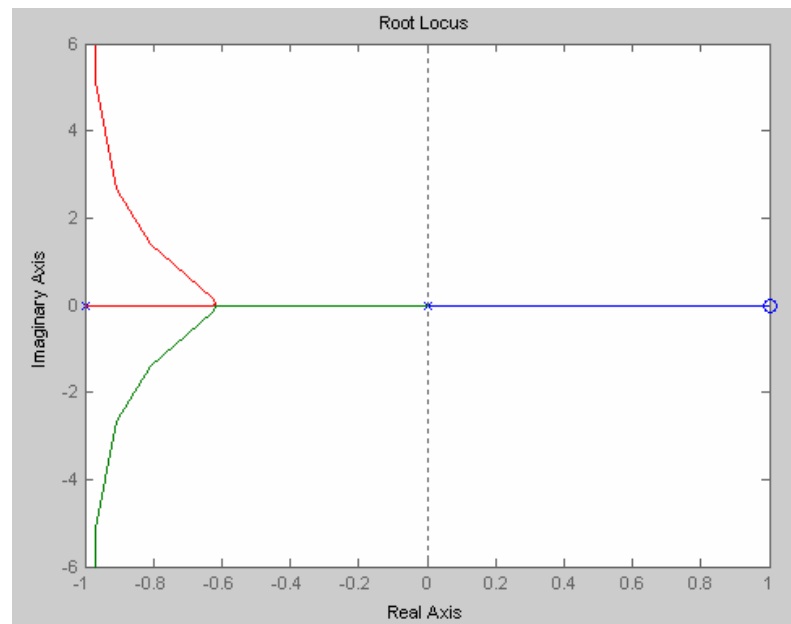
1个分离点： $a=0$ ， $a>1/9$

2个分离点： $a<0$ ， $a=1/9$

3个分离点： $0<a<1/9$

以下用matlab程序验证：

```
% ---- (1) a=-1 (a<0) ---- %  
z=[1];p=[0 0 -1];k=1;  
g=zpk(z,p,k);  
figure(1);  
rlocus(g);
```



第四章 根轨迹法

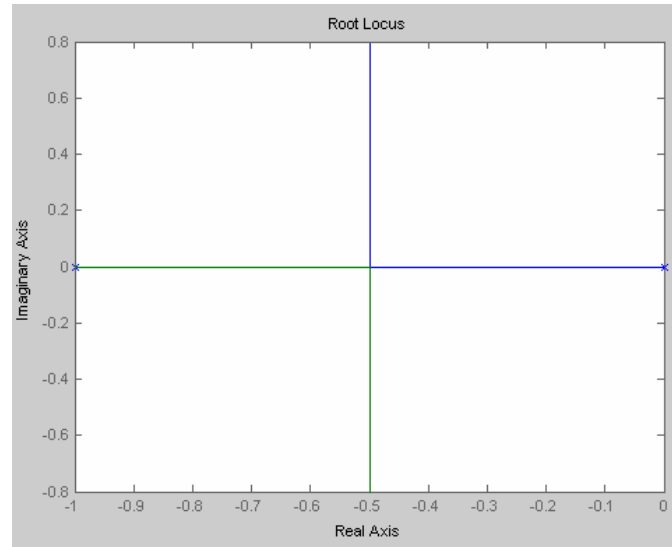
```
% ---- (2) a=0 ---- %
```

```
z=[];p=[0 -1];k=1;
```

```
g=zpk(z,p,k);
```

```
figure(2);
```

```
rlocus(g);
```



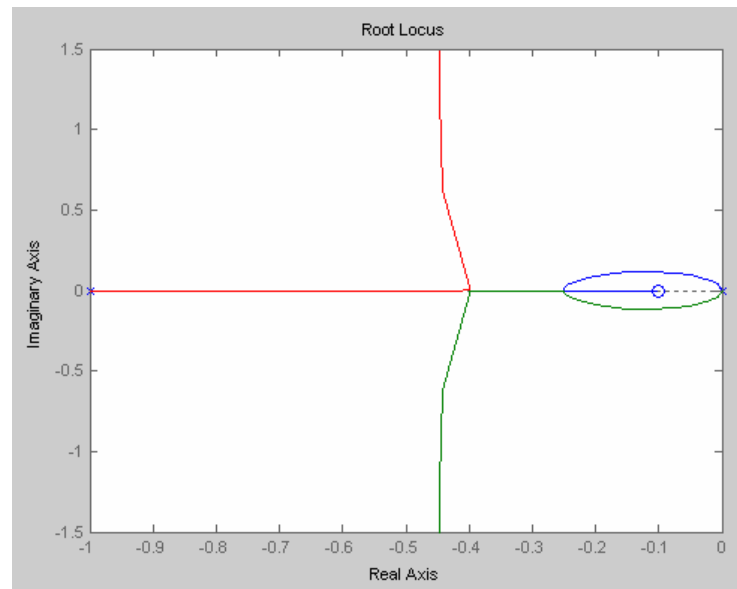
```
% ---- (3) a=0.1 (0<a<1/9) ---- %
```

```
z=[-0.1];p=[0 0 -1];k=1;
```

```
g=zpk(z,p,k);
```

```
figure(3);
```

```
rlocus(g);
```



第四章 根轨迹法

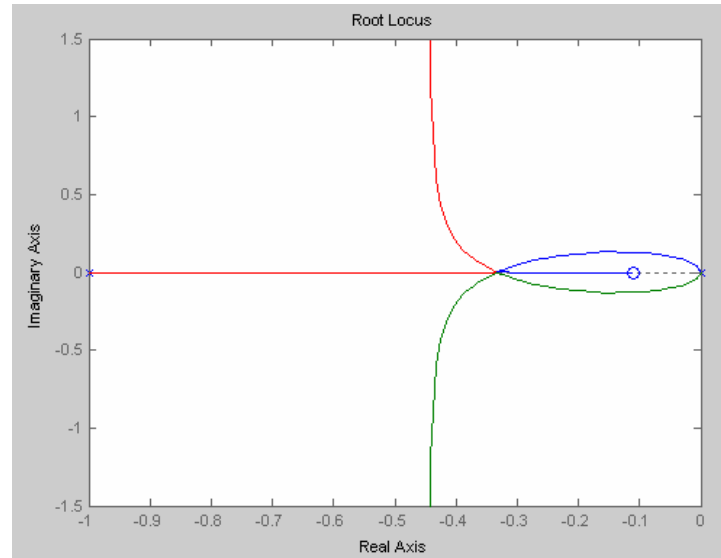
```
% ---- (4) a=1/9 ---- %
```

```
z=[-1/9];p=[0 0 -1];k=1;
```

```
g=zpk(z,p,k);
```

```
figure(4);
```

```
rlocus(g);
```



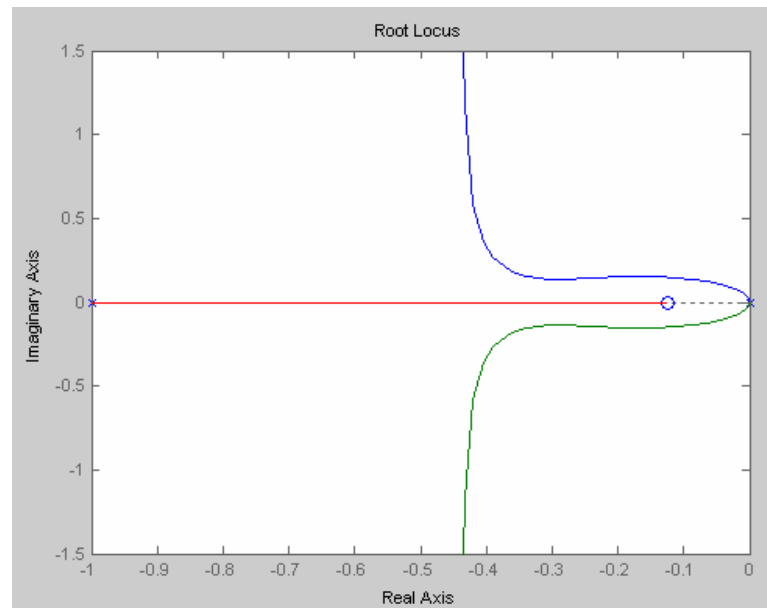
```
% ---- (5) a=0.125 (1/9<a<1) ---- %
```

```
z=[-0.125];p=[0 0 -1];k=1;
```

```
g=zpk(z,p,k);
```

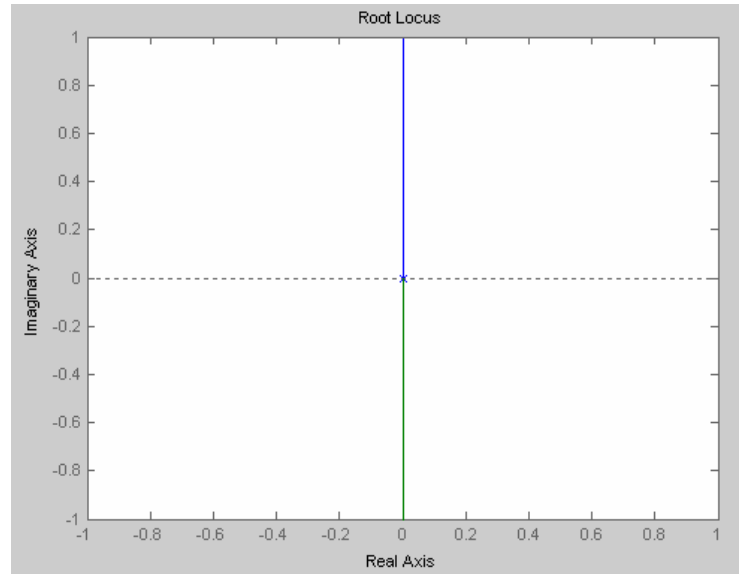
```
figure(5);
```

```
rlocus(g);
```

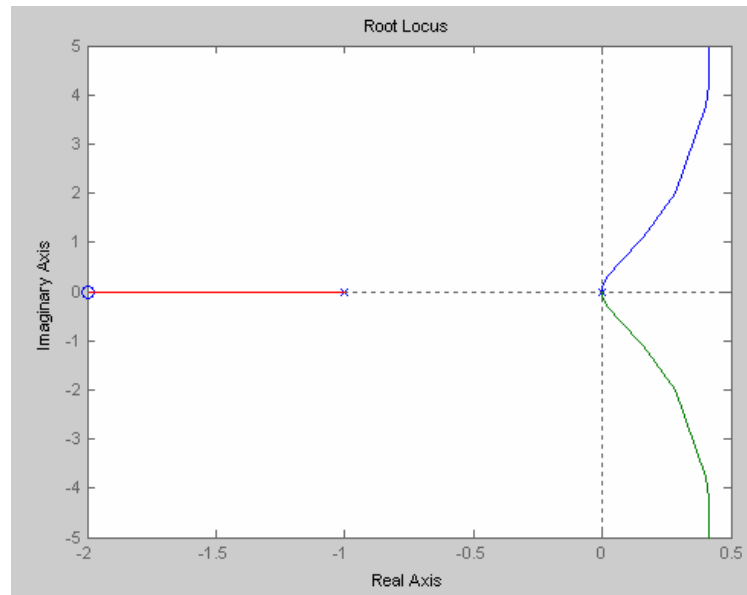


第四章 根轨迹法

```
% ---- (6) a=1 ---- %  
z=[];p=[0 0];k=1;  
g=zpk(z,p,k);  
figure(6);  
rlocus(g);
```



```
% ---- (7) a=2 (a>1) ---- %  
z=[-2];p=[0 0 -1];k=1;  
g=zpk(z,p,k);  
figure(7);  
rlocus(g);
```



第四章 根轨迹法

练习1 概念

偶极子：距离比她们本身模小一个数量级以上的一对闭环零点（可相消）

主导极点：靠近虚轴而附近又没有闭环零点的闭环极点（实部比它大**2-3**倍）

稳定性：所有闭环极点在左半平面

快速性：闭环极点远离虚轴，极点间距离大，零点靠近极点（主导极点）

平稳性：复数极点位于与负实轴±**45**度处

第四章 根轨迹法

练习2 用主导极点近似高阶系统

原系统闭环传递函数 $\Phi(S) = 32(S+6)/(S^3+8S^2+20S+48)$

则有一对主导极点 $s_{1,2} = -1 \pm j2.65$,

其闭环增益 $= 32 \times 6/48 = 4$,

近似系统的闭环特征方程为 $(S-s_1)(S-s_2) = 0$

即 $S^2+2S+8=0$

\because 二阶系统的通式是 $\Phi(S) = K \omega_n^2 / (S^2 + 2\zeta \omega_n S + \omega_n^2)$

\therefore 近似系统 $\Phi(S) = K \times 8 / (S^2 + 2S + 8)$

为使系统闭环增益保持不变,

有 $8K/8 = 4 \quad K = 4$

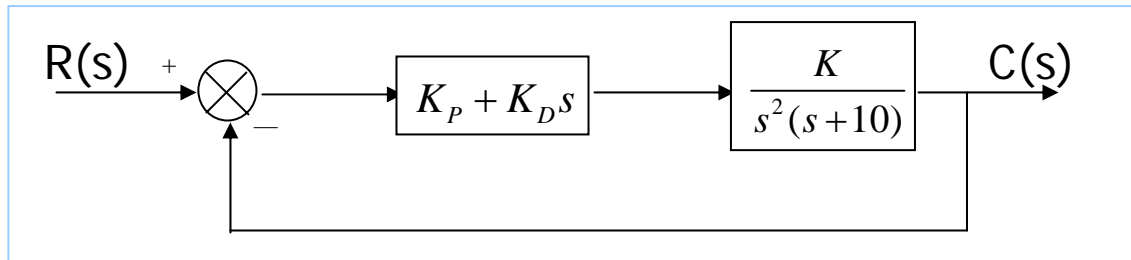
\therefore 近似系统 $\Phi(S) = 32 / (S^2 + 2S + 8)$

第四章 根轨迹法

习题练习3

有闭环控制系统如图所示，其中校正环节的传递函数为 $G_c = K_p + K_D s$ 。 $K=10$ 时，要求校正后闭环系统的超调量 $\sigma_p = 16\%$ ，调整时间 $t_s = 4s$ （2%允许误差）。

- （1）试用根轨迹法确定校正参数 K_p 和 K_D ；
- （2）确定 K_p 和 K_D 后，绘制 K 从 $0 \rightarrow +\infty$ 的根轨迹图。



第四章 根轨迹法

解： (1) 由 $\sigma_p = e^{-\frac{\xi\pi}{\sqrt{1-\xi^2}}} \times 100\% = 16\%$ 得 $\xi = 0.5$

由 $t_s = \frac{4}{\omega_n \xi} = 4$ 得 $\omega_n = 2$

由 $-\xi\omega_n = -1, \omega_n \sqrt{1-\xi^2} = 1.73$ 得 $s_{1,2} = -1 \pm j1.73$

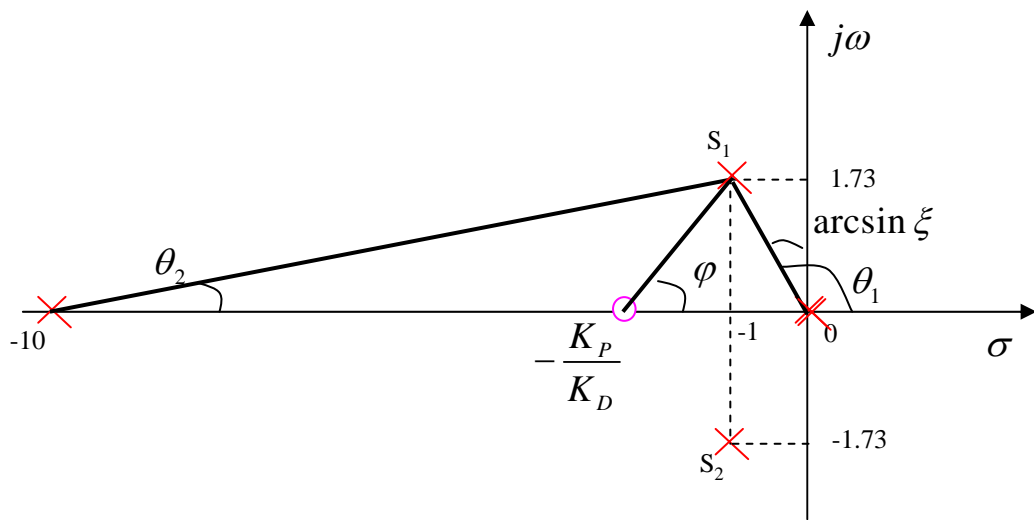
因为 $\arcsin \xi = 30^\circ$

故 $\theta_1 = 120^\circ$

$$\theta_2 = \arctan \frac{1.73}{10-1} = 10.88^\circ$$

校正网络提供的相角为

$$\varphi = 2 \times 120^\circ + 10.88^\circ - 180^\circ = 70.88^\circ$$



第四章 根轨迹法

因为 $\tan \varphi = 2.88 = \frac{1.73}{\frac{K_P}{K_D} - 1}$

得 $\frac{K_P}{K_D} = 1.6$

由幅值条件 $\frac{|s_1 + \frac{K_P}{K_D}| \times 10K_D}{|s_1|^2 |s_1 + 10|} \Big|_{s_1 = -1 + j1.73} = 1$

得 $K_D = 2, K_P = 1.6K_D = 3.2$

设第三个根为 s_3 ，由特征方程 $s^3 + 10s^2 + 10K_D s + 10K_P = 0$

代入 $s_{1,2} = -1 \pm j1.73$ 得 $s_3 = -8$

故 s_1, s_2 为系统的闭环主导极点

第四章 根轨迹法

(2) 画系统的根轨迹

开环极点：0，0，-10，开环零点：-1.6

渐近线与实轴的交点： $\sigma_a = \frac{-10+1.6}{3-1} = -4.2$

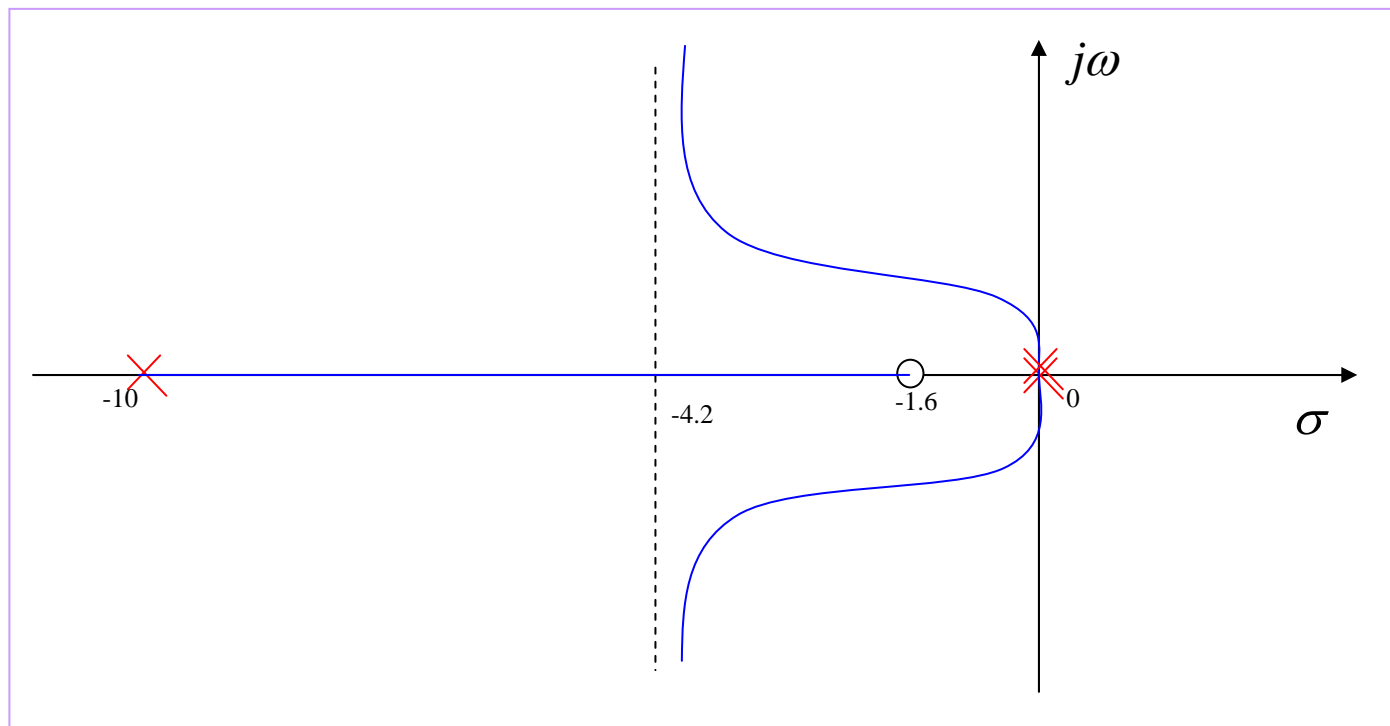
渐近线与实轴的夹角： $\pm 90^\circ$

分离点与会合点： $\frac{d}{ds}[\frac{s^2(s+10)}{(s+1.6)}] = \frac{2s^2 + 24.8s + 32}{(s+1.6)^2} = 0$

即 $2s^2 + 24.8s + 32 = 0$

该方程无实数解，故无分离点与会合点

第四章 根轨迹法



第五章 频率响应法

一 习题答案

$$5-2 \quad G(j\omega) = \frac{36}{(j\omega + 4)(j\omega + 9)} = \frac{36}{\sqrt{(36 - \omega^2)^2 + (13\omega)^2}} e^{-\tan^{-1} \frac{13\omega}{36 - \omega^2}}$$

5-3

$$(a) \quad G(s) = \frac{10}{1 + \frac{s}{10}} = \frac{10}{1 + 0.1s} = \frac{100}{s + 10}$$

$$(b) \quad G(s) = \frac{0.1s}{1 + \frac{s}{50}} = \frac{0.1s}{1 + 0.02s} = \frac{5s}{s + 50}$$

$$(c) \quad G(s) = \frac{50}{s(1 + \frac{s}{100})} = \frac{50}{s(1 + 0.01s)} = \frac{5000}{s(s + 100)}$$

$$(d) \quad G(s) = \frac{100}{s(1 + \frac{s}{0.01})(1 + \frac{s}{20})} = \frac{100}{s(1 + 100s)(1 + 0.05s)} = \frac{20}{s(s + 0.01)(s + 20)}$$

第五章 频率响应法

(e) $-20\lg \frac{1}{2\xi\sqrt{1-\xi^2}} = 3$ 得 $\xi = 0.383$

$$\omega_n = \frac{\omega_r}{\sqrt{1-2\xi^2}} = \frac{630}{\sqrt{1-2\times 0.383^2}} = 749 \quad \text{易得} \quad K = 10$$

$$G(s) = \frac{10}{1 + \frac{0.766}{749}s + \frac{s^2}{749^2}}$$

(f) $-20\lg \frac{1}{2\xi\sqrt{1-\xi^2}} = 4.85$ 得 $\xi = 0.3$

$$\omega_n = \frac{\omega_r}{\sqrt{1-2\xi^2}} = \frac{45.3}{\sqrt{1-2\times 0.3^2}} = 50$$

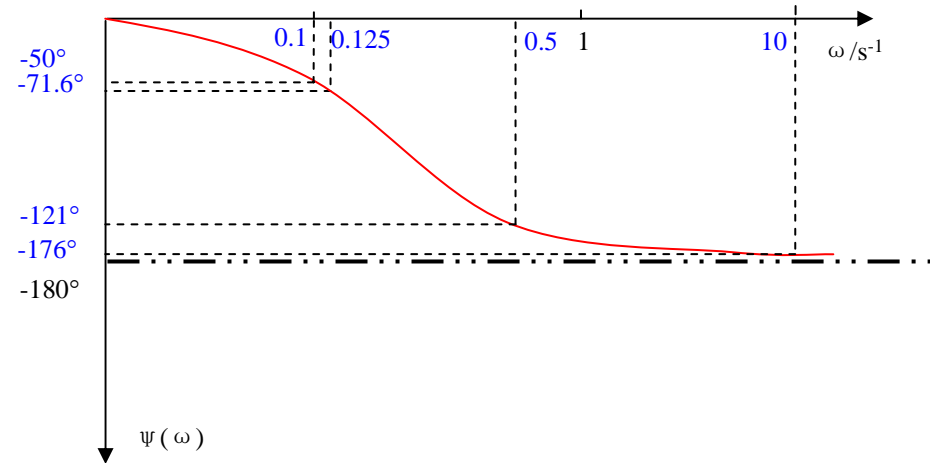
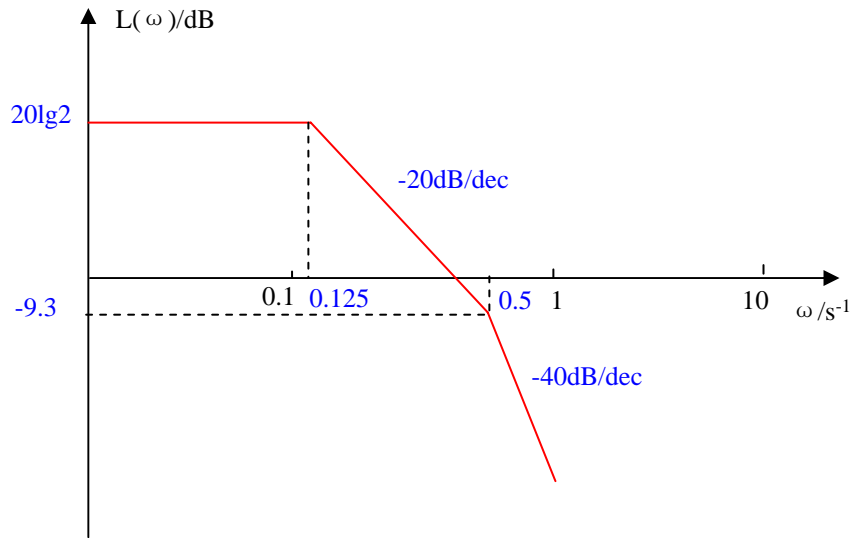
$$G(s) = \frac{100}{s(1 + \frac{0.6}{50}s + \frac{s^2}{50^2})}$$

第五章 频率响应法

5-5

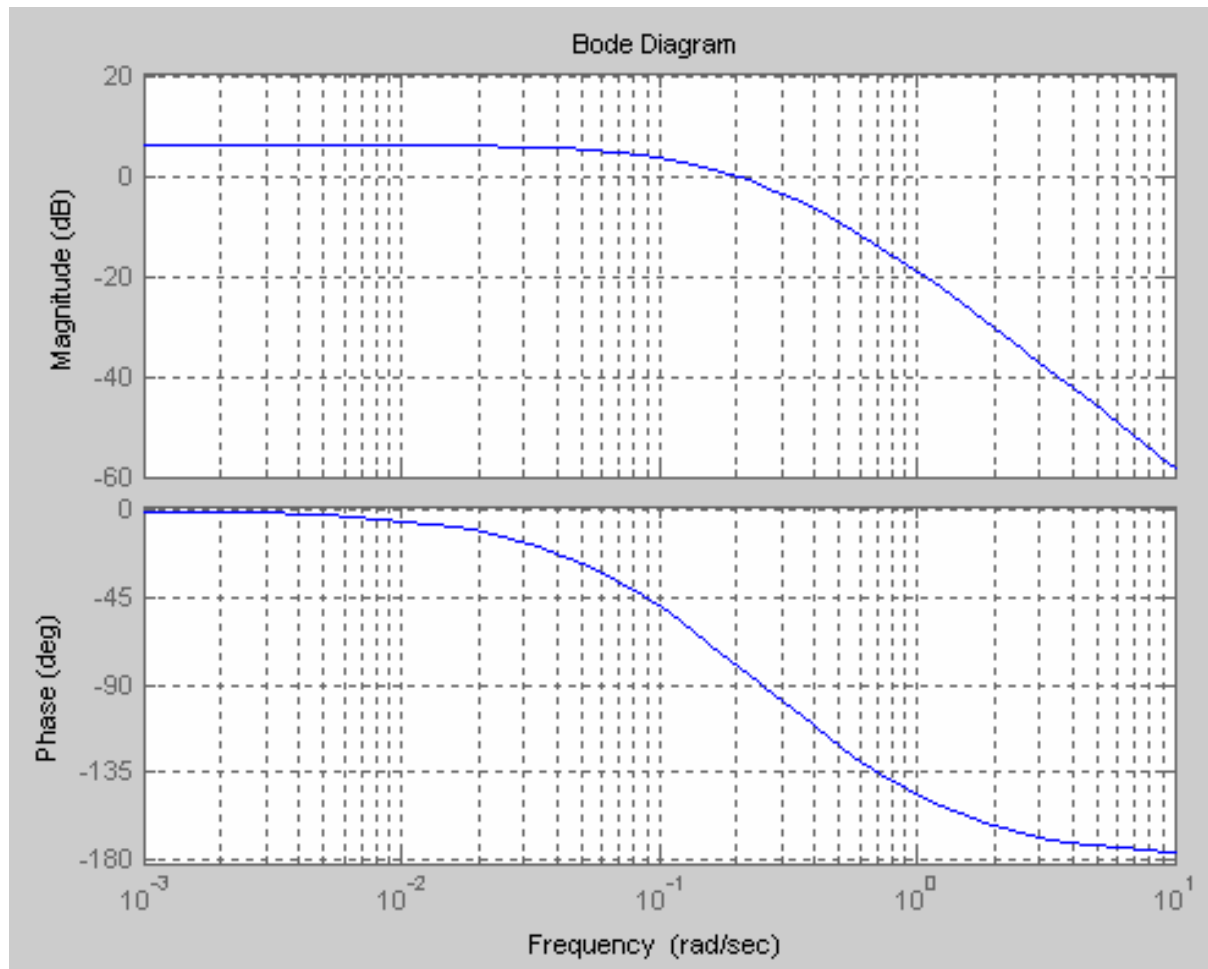
$$(1) \quad L(\omega) = 20\lg 2 - 20\lg \sqrt{1 + (2\omega)^2} - 20\lg \sqrt{1 + (8\omega)^2}$$

$$\varphi(\omega) = 0 - \tan^{-1}(2\omega) - \tan^{-1}(8\omega)$$



第五章 频率响应法

```
bode(tf(2,conv([2,1],[8,1])));grid on;
```



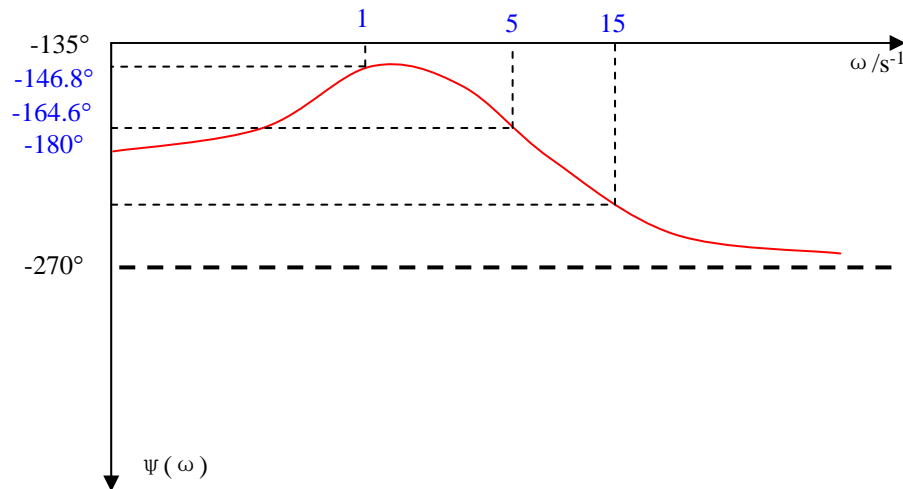
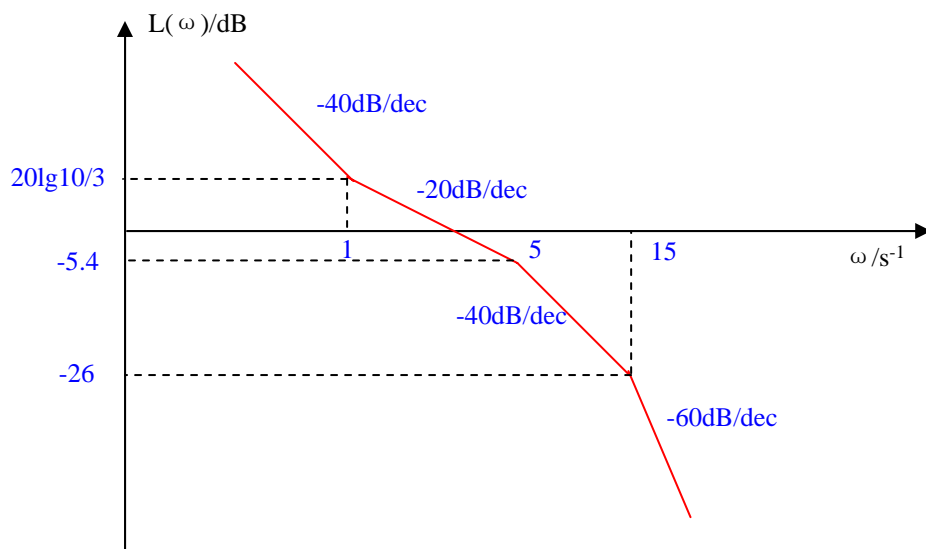
第五章 频率响应法

(3)

$$G_0(\omega) = \frac{10/3 (1+j\omega)}{(j\omega)^2 (1+0.2j\omega)(1+1/15j\omega)}$$

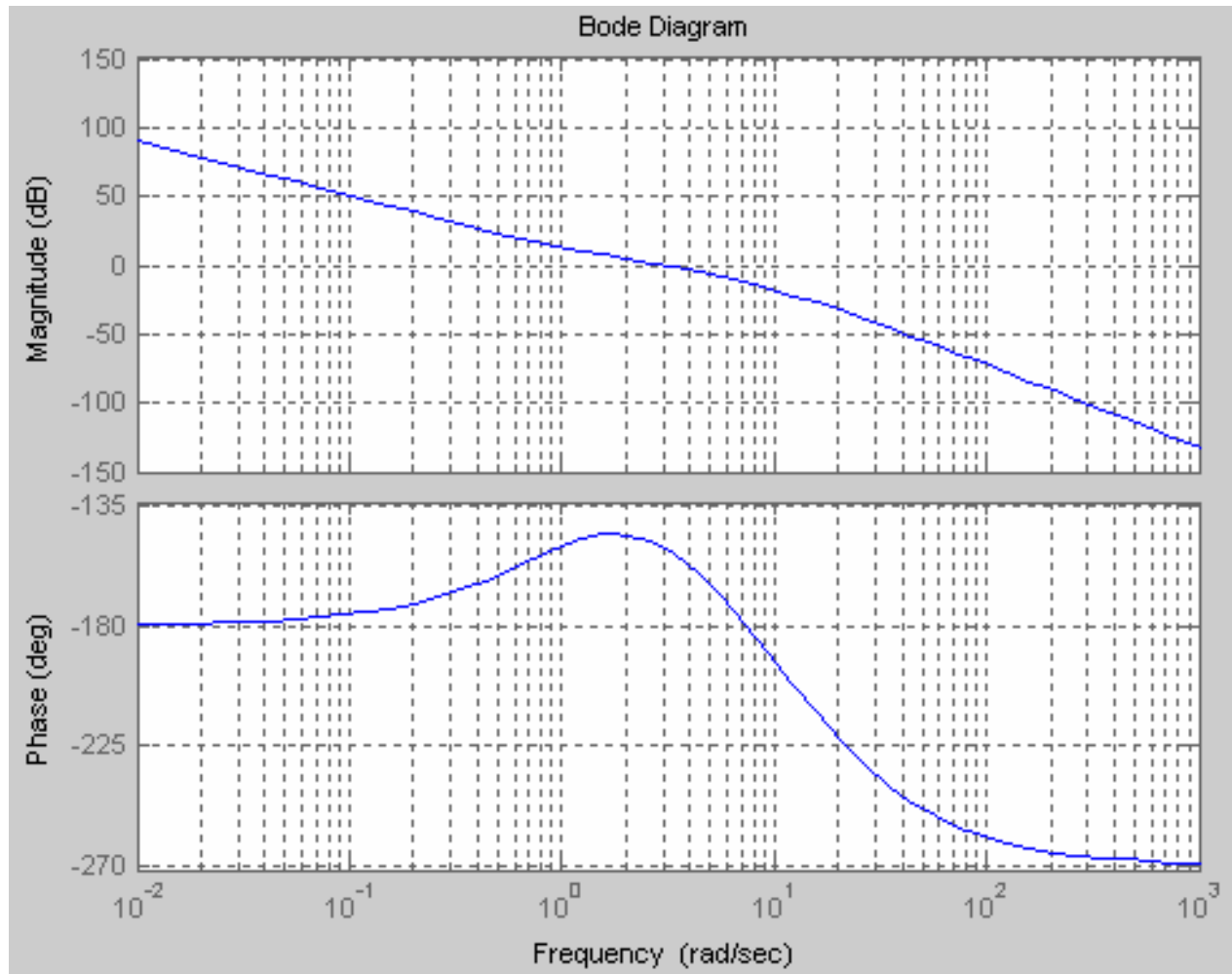
$$L(\omega) = 20\lg 10/3 + 20\lg \sqrt{1+\omega^2} - 40\lg \omega - 20\lg \sqrt{1+(0.2\omega)^2} - 20\lg \sqrt{1+(1/15\omega)^2}$$

$$\varphi(\omega) = 0 + \tan^{-1} \omega - 180^\circ - \tan^{-1}(0.2\omega) - \tan^{-1}(1/15\omega)$$



第五章 频率响应法

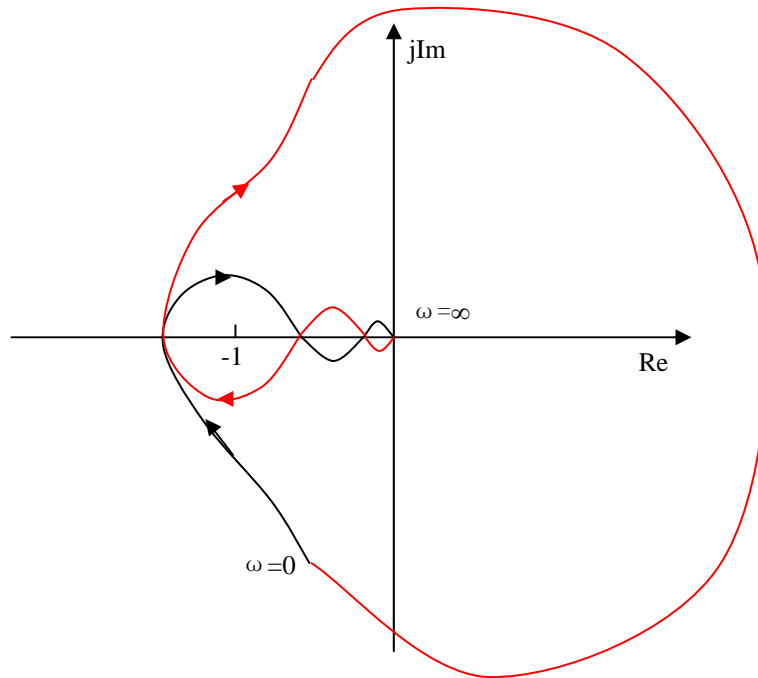
```
bode(zpk([-1],[0,0,-5,-15],250));grid on;
```



第五章 频率响应法

5-6

(a)



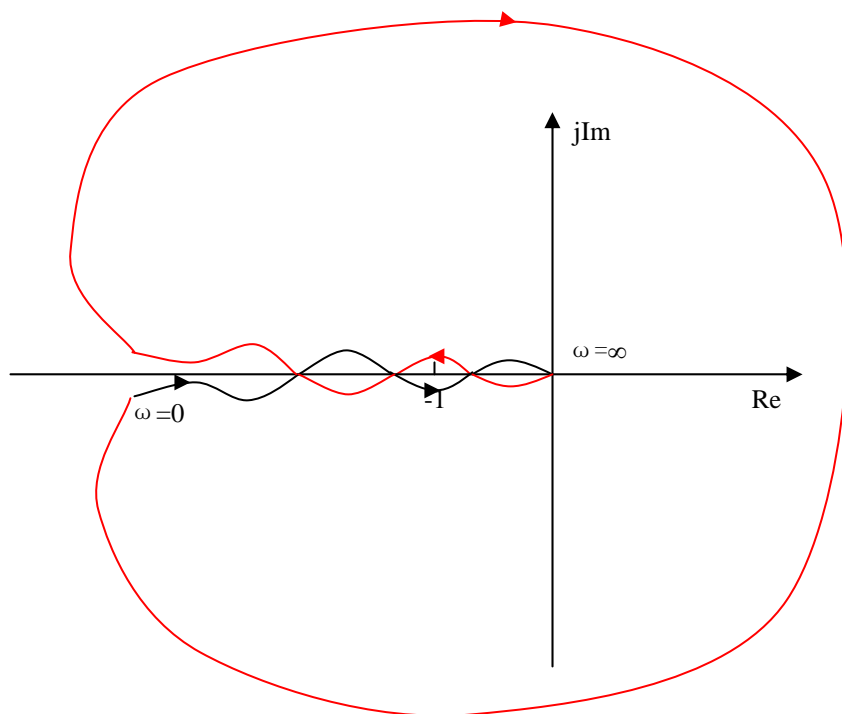
$$N=2, P=0$$

$$Z=N+P=2$$

故闭环系统不稳定

第五章 频率响应法

(b)



$$N=0, P=0$$

$$Z=N+P=0$$

故闭环系统稳定

第五章 频率响应法

5-8

$$(1) \quad 20\lg K - 20\lg 0.001 = 80 \quad \text{得} \quad K = 10$$

$$G(s) = \frac{10(1+10s)}{s(1+100s)(1+0.2s)}$$

(2) 系统稳定

(routh判据；闭环极点分析；奈式图分析；bode图分析)

(3) I型系统在斜坡信号 $r(t)=t$ 下系统静态误差 $e_{ss}=1/K_v$ (P63)

$$K_v = \lim_{s \rightarrow 0} sG(s)H(s) = \lim_{s \rightarrow 0} \frac{10(1+10s)}{(1+100s)(1+0.2s)} = 10$$

故 $e_{ss} = 0.1$

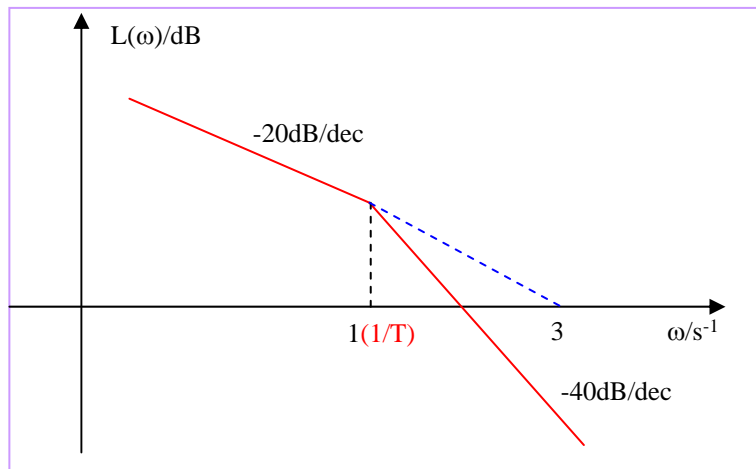
第五章 频率响应法

5-9

$T \geq 1/3$ 时

$$G(s)H(s) = \frac{3}{s(Ts + 1)}$$

(例如 $T=1$)

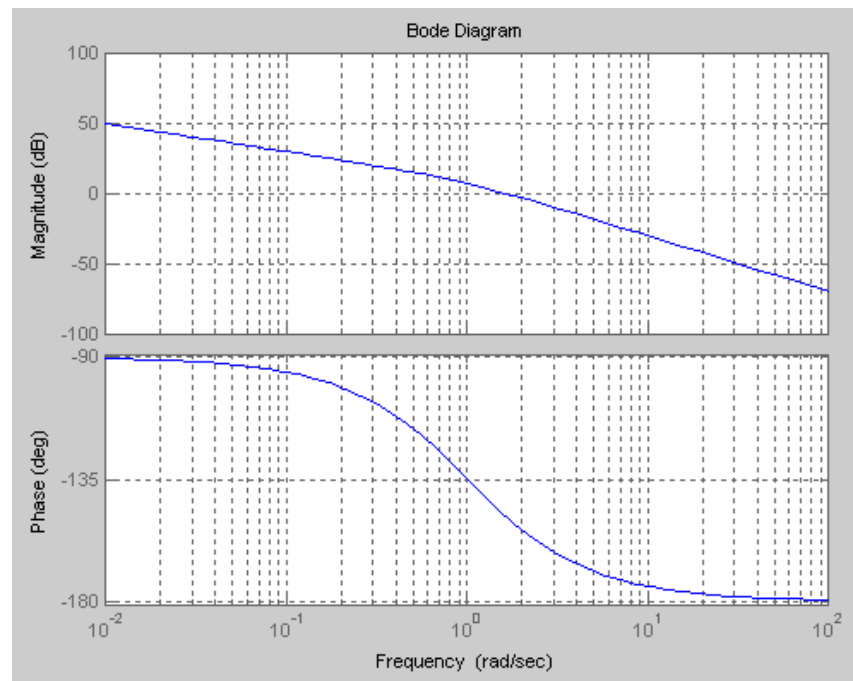


$$20 \lg 3 - 20 \lg \omega_c - 20 \lg \sqrt{T^2 \omega_c^2 + 1} = 0$$

$$\omega_c = \frac{1}{T} \sqrt{\frac{-1 + \sqrt{1 + 36T^2}}{2}}$$

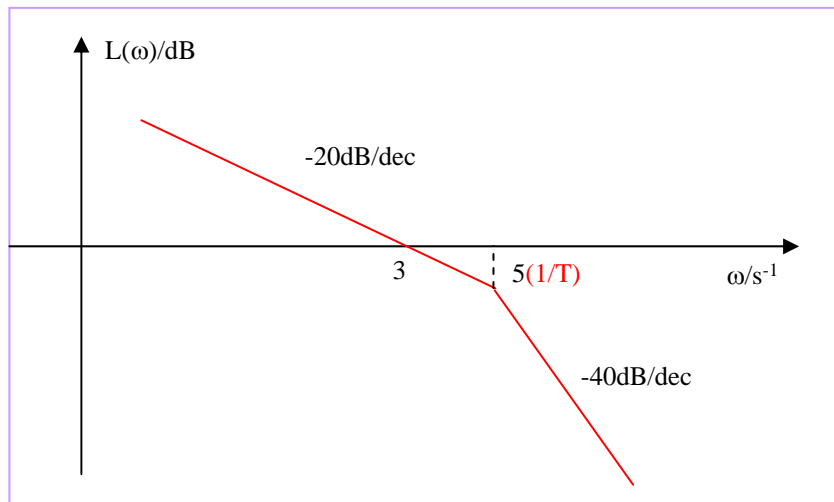
$$\gamma = 180^\circ - 90^\circ - \tan^{-1} T \omega_c$$

$$\gamma|_{T=1} \approx 35^\circ$$



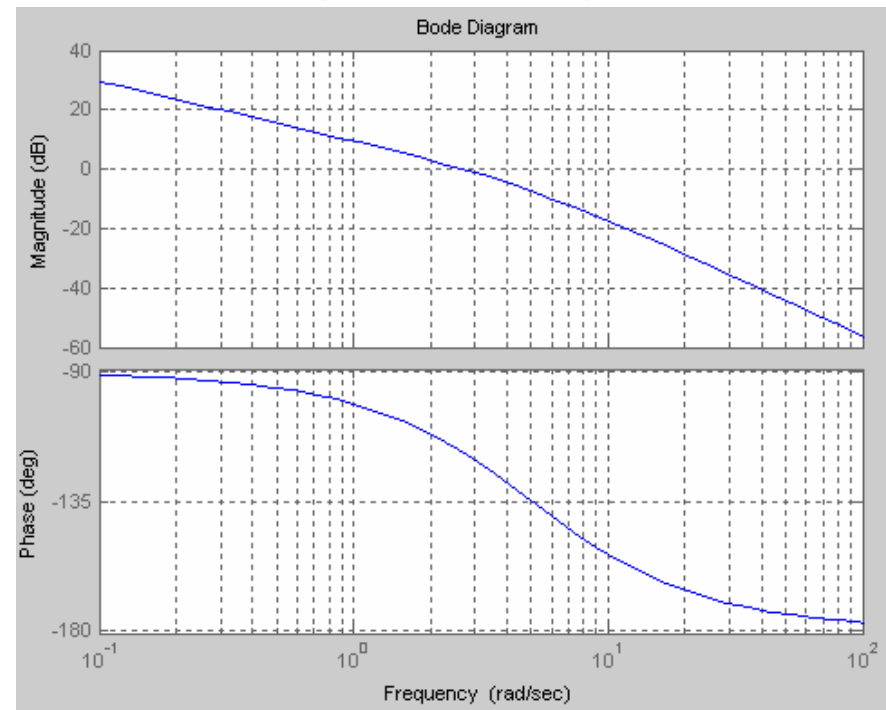
第五章 频率响应法

$T < 1/3$ 时



$$\gamma = 180^\circ - 90^\circ - \tan^{-1} 3T$$

(例如 $T = 1/5$)



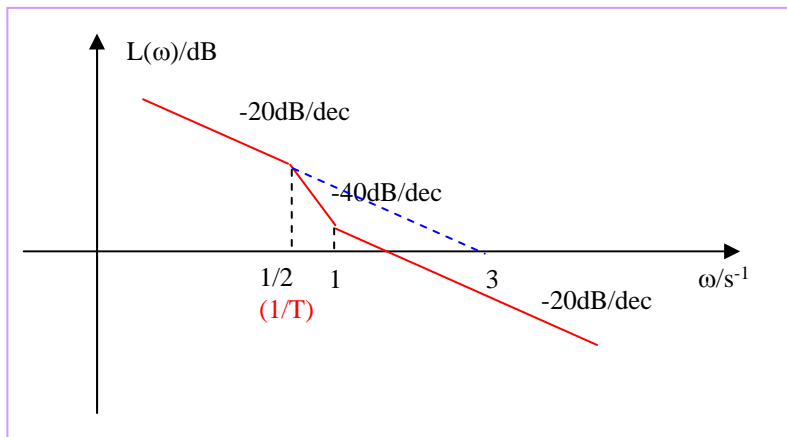
$$\gamma|_{T=1/5} \approx 60^\circ$$

第五章 频率响应法

$$G(s)H(s) = \frac{3(s+1)}{s(Ts+1)}$$

(例如 $T=2$)

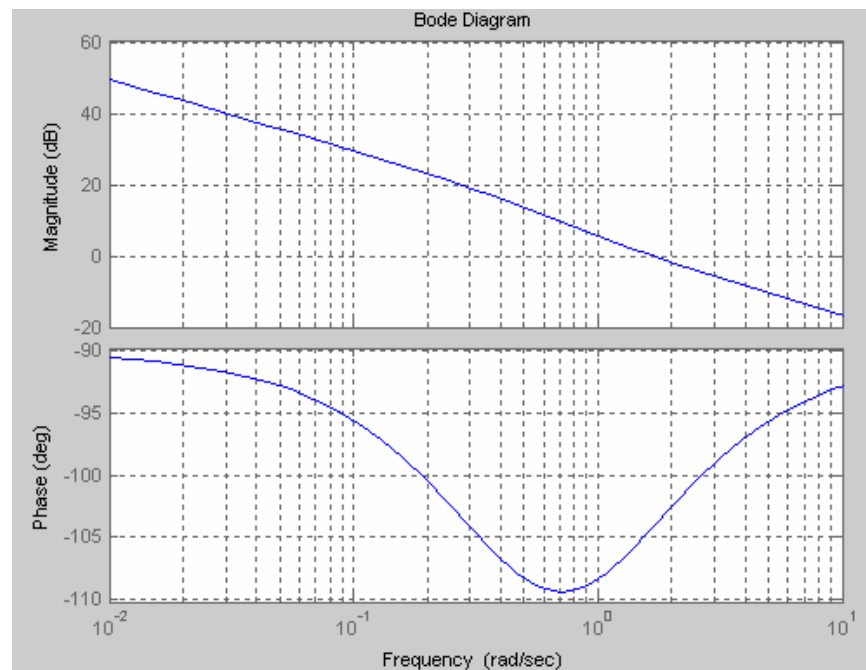
$T \geq 1$ 时



$$20 \lg 3 + 20 \lg \sqrt{\omega_c^2 + 1} - 20 \lg \omega_c - 20 \lg \sqrt{T^2 \omega_c^2 + 1} = 0$$

$$\omega_c = \frac{1}{T} \sqrt{\frac{8 + \sqrt{64 + 36T^2}}{2}}$$

$$\gamma = 180^\circ + \tan^{-1} \omega_c - 90^\circ - \tan^{-1} T \omega_c$$



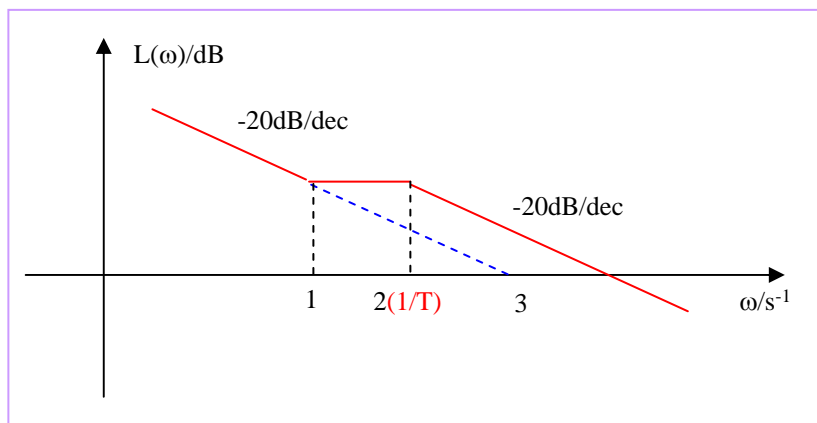
$$\gamma|_{T=1} \approx 90^\circ$$

$$\gamma|_{T=2} \approx 75.77^\circ$$

第五章 频率响应法

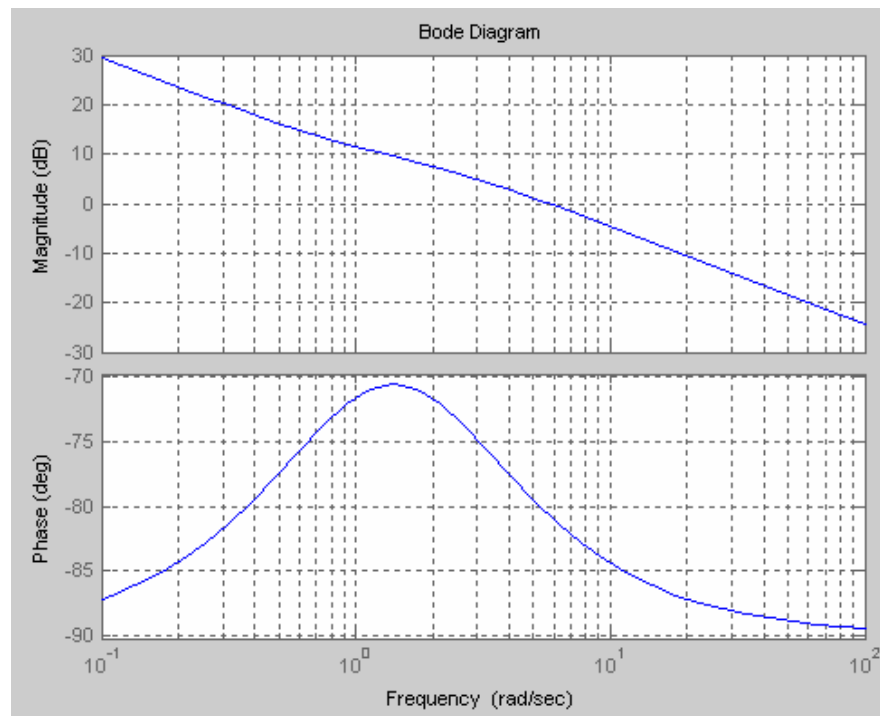
(例如 $T=1/2$)

$1/3 \leq T < 1$ 时



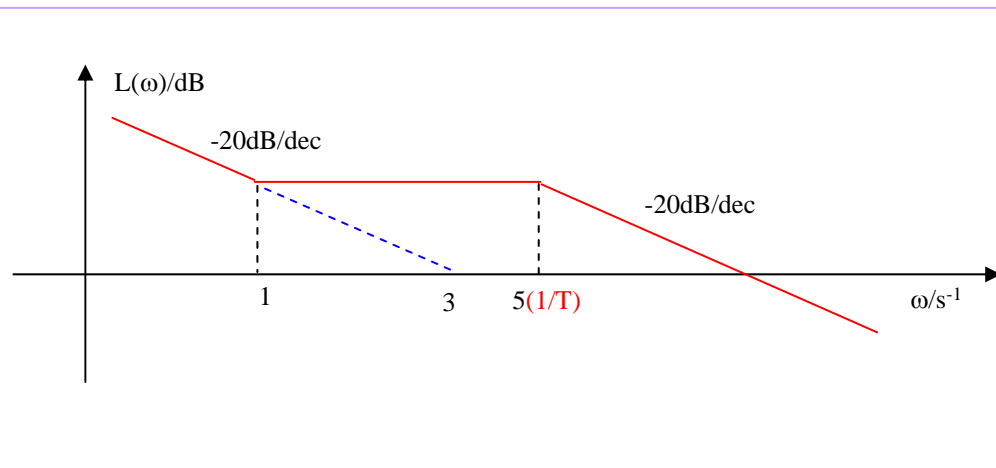
$\gamma|_{T=1/2} \approx 99^\circ$ (加上微分环节)

$\gamma|_{T=1/2} \approx 43.85^\circ$ (未加微分环节)



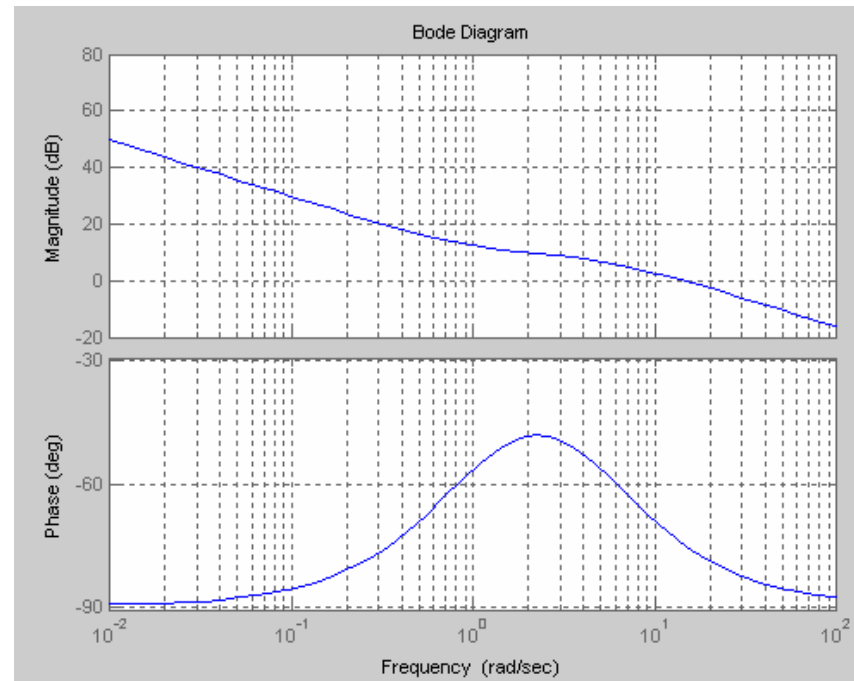
第五章 频率响应法

$T < 1/3$ 时



$$\gamma|_{T=1/5} \approx 105.4^\circ$$

(例如 $T = 1/5$)



第五章 频率响应法

5-11

$$(1) \quad \gamma = 180^\circ + \tan^{-1} \alpha \omega_c - 180^\circ = \tan^{-1} \alpha \omega_c = 45^\circ \quad \alpha \omega_c = 1$$

$$20 \lg \sqrt{\alpha^2 \omega_c^2 + 1} - 40 \lg \omega_c = 0 \quad \alpha = 2^{-\frac{1}{4}} = 0.841$$

$$(2) \quad \gamma = 180^\circ - 3 \tan^{-1} 0.01 \omega_c = 45^\circ \quad \tan^{-1} 0.01 \omega_c = 45^\circ \quad \omega_c = 100$$

$$20 \lg K - 60 \lg \sqrt{(0.01 \omega_c)^2 + 1} = 0 \quad K = 2^{\frac{3}{2}} = 2.828$$

第五章 频率响应法

5-13

$$K_v = \lim_{s \rightarrow 0} s \cdot G(s)H(s) = \lim_{s \rightarrow 0} s \cdot \frac{40K}{s(s+2)(s+20)} = K$$

因为 $K_v > 5$ ，故 $K > 5$

$$\varphi(\omega_g) = -90^\circ - \tan^{-1} \frac{\omega_g}{2} - \tan^{-1} \frac{\omega_g}{20} = -180^\circ \quad \omega_g = 2\sqrt{10}$$

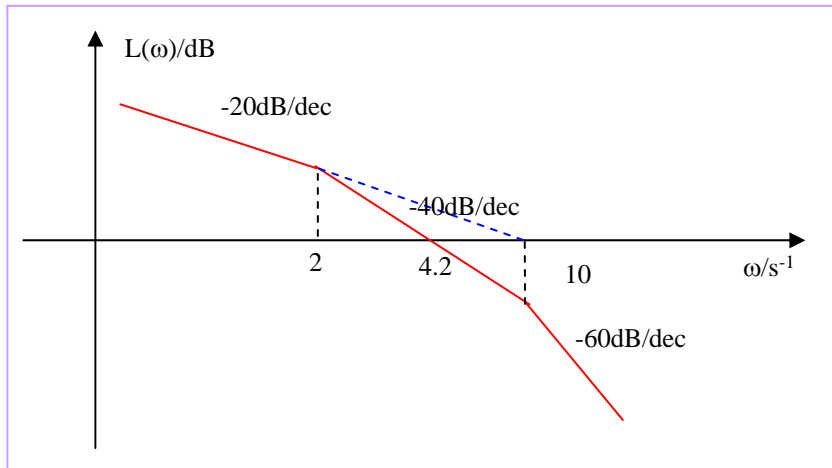
$$\begin{aligned} L(\omega_g) &= 20\lg K - 20\lg \omega_g - 20\lg \sqrt{\left(\frac{\omega_g}{2}\right)^2 + 1} - 20\lg \sqrt{\left(\frac{\omega_g}{20}\right)^2 + 1} \\ &= 20\lg K - 20\lg 22 \end{aligned}$$

$$20\lg 22 - 20\lg K \geq 6 = 20\lg 2 \quad K \leq 11$$

综上得 K 的取值范围： $5 < K \leq 11$

第六章 自动控制系统设计

6-3



$$20\lg 10 - 20\lg \omega_c - 20\lg \sqrt{\left(\frac{\omega_c}{2}\right)^2 + 1} - 20\lg \sqrt{\left(\frac{\omega_c}{10}\right)^2 + 1} = 0$$

$$\omega_c = 4.2544$$

$$\gamma = 180^\circ - 90^\circ - \tan^{-1} \frac{\omega_c}{2} - \tan^{-1} \frac{\omega_c}{10} = 2.1315^\circ$$

$$\frac{10 \times 0.23 \omega_c}{\omega_c \times 0.5 \omega_c} = 1$$

$$\omega_c = 4.6$$

$$\gamma = 180^\circ + \tan^{-1} 0.23 \omega_c - 90^\circ - \tan^{-1} \frac{\omega_c}{2} - \tan^{-1} \frac{\omega_c}{10} - \tan^{-1} 0.023 \omega_c = 39.36^\circ$$

第六章 自动控制系统设计

6-4

$$\phi = -180^\circ + 40^\circ + 12^\circ = -128^\circ = -90^\circ - \arctan \omega_c - \arctan 0.2\omega_c$$

$$\omega_c = 0.6$$

$$\begin{aligned} L(\omega_c) &= 20\lg 8 - 20\lg 0.6 - 20\lg \sqrt{1+0.6^2} \\ &= 20\lg \sqrt{1+(0.2 \times 0.6)^2} = 20\lg 11 = 20\lg \beta \end{aligned}$$

$$\beta = 11$$

$$\omega_1 = \frac{1}{\beta T} = 0.01 \qquad \omega_2 = \frac{1}{T} = \frac{\omega_c}{5} = 0.12$$

$$G_c(s) = \frac{1+8.33s}{1+100s}$$

第六章 自动控制系统设计

6-5

$$G(s) = G_c(s)G_o(s) = \frac{20(s+0.15)(s+0.7)}{s(s+0.015)(s+2)(s+3)(s+7)}$$

$$\text{令 } |G(j\omega)|=1 \quad \omega_c = 0.397$$

$$\begin{aligned} \phi(\omega_c) &= \arctan \frac{\omega_c}{0.15} + \arctan \frac{\omega_c}{0.7} - 90^\circ - \arctan \frac{\omega_c}{0.015} - \arctan \frac{\omega_c}{2} - \arctan \frac{\omega_c}{3} - \arctan \frac{\omega_c}{7} \\ &= 101^\circ \end{aligned}$$

$$\gamma = 180^\circ + \phi(\omega_c) - \xi = 180^\circ - 101^\circ - 4^\circ = 75^\circ$$

$$\begin{aligned} \phi(\omega_g) &= \arctan \frac{\omega_g}{0.15} + \arctan \frac{\omega_g}{0.7} - 90^\circ - \arctan \frac{\omega_g}{0.015} - \arctan \frac{\omega_g}{2} - \arctan \frac{\omega_g}{3} - \arctan \frac{\omega_g}{7} \\ &= 180^\circ \end{aligned}$$

$$\omega_g = 5.66 \quad 20 \lg K_g = -L(\omega_g) = 24.708 \text{dB} \quad \text{证毕}$$

第六章 自动控制系统设计

6-6

$$G_0(s) = \frac{K}{s(1+s)(1+0.5s)} \quad G_c(s)G_0(s) = \frac{K(1+s)}{s(1+100s)(1+s)(1+0.5s)}$$

从而 $G_c(s) = \frac{(1+s)}{(1+100s)}$

$$20\lg 5 = 20\lg K - 20\lg 1 \quad \therefore K = 5$$

$$G_c(s)G_0(s) = \frac{5(1+s)}{s(1+100s)(1+s)(1+0.5s)}$$

第六章 自动控制系统设计

$$L(0.01) = 20\lg 5 - 20\lg 0.01 = 20\lg 500$$

$$L(0.1) = 20\lg 500 - 40(\lg 0.1 - \lg 0.01) = 20\lg 5$$

$$L(0.1) - 20(\lg \omega_c - \lg 0.1) = 0$$

$$\therefore \omega_c = 0.5$$

$$\gamma = 180^\circ + \tan^{-1} 5 - 90^\circ - \tan^{-1} 50 - \tan^{-1} 0.5 - \tan^{-1} 0.25 = 39.2^\circ$$

$$-90^\circ + \tan^{-1} 10\omega - \tan^{-1} 100\omega - \tan^{-1} \omega - \tan^{-1} \frac{\omega}{2} = -180^\circ$$

$$\Rightarrow \omega_g = 1.32$$

$$K_g = \frac{1}{|G_c(j\omega)G_0(j\omega)|} = \frac{1.32 \times 132 \times 1.65 \times 1.20}{5 \times 13.24} = 5.2$$

第六章 自动控制系统设计

6-7

$$K = \lim_{s \rightarrow 0} s \cdot \frac{K}{s(s+1)} = 2 \Rightarrow K = 2$$

$$\text{Q } \xi = 0.5, t_s = \frac{4}{\xi \omega_n} = 2 \quad \therefore \xi = 0.5, \omega_n = 4$$

$$s_d = -\xi \omega_n \pm j \omega_n \sqrt{1 - \xi^2} = -2 \pm j 2\sqrt{3}$$

$$u = |s_d| \cdot |s_d + 1| = 14.42$$

$$\phi = -180^\circ - \angle G_0(s_d) = -180^\circ + 120^\circ + 106.1^\circ = 46.1^\circ$$

$$\cot \gamma = \left(\frac{u}{K} - \cos \phi \right) \frac{1}{\sin \phi} \Rightarrow \gamma = 6.3^\circ$$

第六章 自动控制系统设计

$$\delta = 180^\circ - \gamma - \theta = 113.7^\circ$$

$$|z_c| = \frac{\sin \gamma}{\sin \delta} \omega_n = 0.48 \qquad |p_c| = \frac{\sin(\gamma + \phi)}{\sin(\delta - \phi)} \omega_n = 3.43$$

$$\beta = \frac{|p_c|}{|z_c|} = 7.15$$

$$\therefore G_c(s) = 7.15 \frac{s + 0.48}{s + 3.43}$$

第六章 自动控制系统设计

6-13 $\sigma_p = e^{-\frac{\xi\pi}{\sqrt{1-\xi^2}}} = 0.05 \Rightarrow \xi = 0.7237$

$$t_s = \frac{4}{\xi\omega_n} \Rightarrow \omega_n = 5.53$$

$$G(s) = \frac{k(s+\alpha)}{s(s+3)} \quad G_B(s) = \frac{C(s)}{R(s)} = \frac{k(s+\alpha)}{s^2 + (3+k)s + k\alpha}$$

$$\therefore k\alpha = \omega_n^2, 3+k = 2\xi\omega_n$$

$$\therefore k = 5, \alpha = 6.12$$

第七章 离散系统分析

7-1

$$\begin{aligned} C(Z) &= \frac{Z}{(Z-1)^2(Z-2)} = \frac{Z}{(Z-1)} \left(\frac{1}{Z-1} \cdot \frac{1}{Z-2} \right) \\ &= \frac{Z}{(Z-1)} \cdot \left(\frac{1}{Z-2} - \frac{1}{Z-1} \right) \\ &= \frac{Z}{(Z-1)} \cdot \frac{1}{Z-2} - \frac{Z}{(Z-1)^2} \\ &= Z \left(\frac{1}{Z-2} - \frac{1}{Z-1} \right) - \frac{Z}{(Z-1)^2} \\ &= \frac{Z}{Z-2} - \frac{Z}{Z-1} - \frac{Z}{(Z-1)^2} \end{aligned}$$

$$C(kT) = 2^k - 1 - \frac{t}{T} = 2^k - 1 - k$$

第七章 离散系统分析

例7-11

$$C(S) = \frac{1 - e^{-s}}{S^2(S+1)}$$

$$= (1 - e^{-s}) \left(\frac{1}{S^2} - \frac{1}{S} + \frac{1}{S+1} \right)$$

$$= \left(\frac{1}{S^2} - \frac{1}{S} + \frac{1}{S+1} \right) - \left(\frac{1}{S^2} - \frac{1}{S} + \frac{1}{S+1} \right) e^{-s}$$

$$= g_1(s) - g_2(s)$$

$$\text{有 } g_2(s) = g_1(s)e^{-s}$$

$$g_1(t) = L^{-1}g_1(s) = L^{-1}\left(\frac{1}{S^2} - \frac{1}{S} + \frac{1}{S+1}\right)$$

$$= t - 1 + e^{-t}$$

$$G_1(Z) = Z^{-1}(t - 1 + e^{-t})$$

$$= \frac{TZ}{(Z-1)^2} - \frac{Z}{Z-1} + \frac{Z}{Z-e^{-1}} \quad (\text{其中 } T=1)$$

$$\begin{aligned} \frac{1}{S^2(S+1)} &= \frac{1}{S} \left(\frac{1}{S} - \frac{1}{S+1} \right) \\ &= \frac{1}{S^2} - \frac{1}{S(S+1)} \\ &= \frac{1}{S^2} - \frac{1}{S} + \frac{1}{S+1} \end{aligned}$$

第七章 离散系统分析

$$G_2(Z) = Z^{-1}G_1(Z)$$

$$G(Z) = G_1(Z) - G_2(Z) = (1 - Z^{-1}) G_2(Z)$$

$$= (1 - Z^{-1}) \left(\frac{Z}{(Z-1)^2} - \frac{Z}{Z-1} + \frac{Z}{Z-e^{-1}} \right)$$

$$= \frac{e^{-1}Z + 1 - 2e^{-1}}{Z^2 - (1 + e^{-1})Z + e^{-1}}$$

事实上，有

$$g_2(s) = g_1(s)e^{-s}$$

$$\text{则 } g_2(t) = g_1(t - T)$$

$$G_2(Z) = Z^{-1}G_1(Z)$$



更进一步，有

$$g_2(s) = g_1(s)e^{-kS}$$

$$\text{则 } g_2(t) = g_1(t - kT)$$

$$G_2(Z) = Z^{-k}G_1(Z)$$

第七章 离散系统分析

7-5

系统的开环传递函数为

$$G(S) = \frac{k}{S(T_1 S + 1)} = \frac{k}{S} - \frac{k T_1}{T_1 S + 1}$$

开环脉冲传递函数为

$$G(Z) = \frac{kZ}{Z-1} - \frac{kZ}{Z - e^{-\frac{T}{T_1}}}$$

则闭环离散系统的特征方程为

$$1 + G(Z) = 0$$

$$\text{即 } 1 + \frac{kZ}{Z-1} - \frac{kZ}{Z - e^{-\frac{T}{T_1}}} = 0$$

$$Z^2 + (k - k e^{-\frac{T}{T_1}} - e^{-\frac{T}{T_1}} - 1) Z + e^{-\frac{T}{T_1}} = 0$$

第七章 离散系统分析

令 $Z = \frac{r+1}{r-1}$, 得

$$\frac{T}{T_1}$$

$$\frac{T}{T_1}$$

$$= 0$$

对应的劳斯阵为

$$\begin{array}{lcl} r^2 & k(1-e^{-T/T_1}) & e^{-T/T_1}(k+2)+2-k \\ r^1 & 2(1-e^{-T/T_1}) & 0 \\ r^0 & e^{-T/T_1}(k+2)+2-k & \end{array}$$

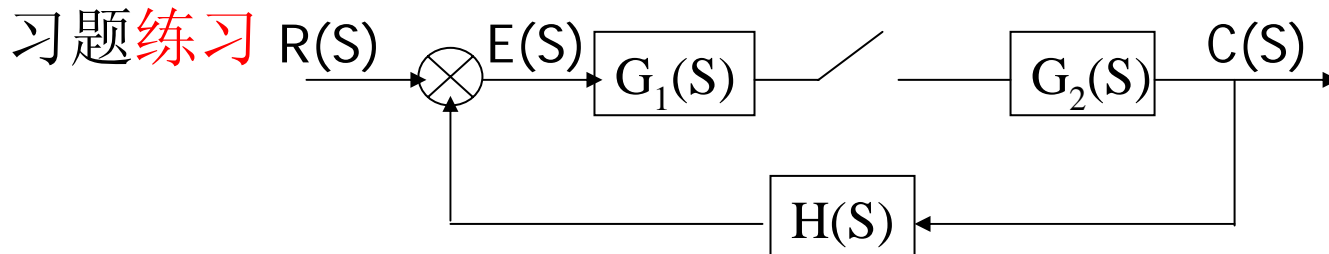
$$\left\{ \begin{array}{l} 1 - e^{-\frac{T}{T_1}} > 0 \\ e^{-\frac{T}{T_1}}(k+2) + 2 - k > 0 \end{array} \right.$$



$$T > 0$$

$$k < \frac{2e^{-\frac{T}{T_1}} + 2}{1 - e^{-\frac{T}{T_1}}}$$

第七章 离散系统分析



推导该离散系统的输出量 $C(Z)$ 的表达式。

$$[E(S) \cdot G_1(S)]^* G_2(S) = C(S)$$

$$\therefore C^*(S) = E G_1^*(S) \cdot G_2^*(S) \dots \dots \dots (1)$$

$$\text{又 } E(S) = R(S) - C(S) H(S)$$

$$= R(S) - E G_1^*(S) \cdot G_2(S) \cdot H(S) \dots (2)$$

(2) 式左右同乘 $G_1(S)$, 得

$$E(S) G_1(S) = R(S) G_1(S) - E G_1^*(S) \cdot G_2(S) \cdot H(S) \cdot G_1(S)$$

第七章 离散系统分析

采样后，有

$$EG_1^*(S) = RG_1^*(S) - EG_1^*(S) \cdot G_2HG_1^*(S)$$

$$\Rightarrow EG_1^*(S) = \frac{RG_1^*(S)}{1+G_1G_2H^*(S)}, \text{ 代入 (1) 式}$$

是否等价于

$$G_1G_2H^*(S)$$

$$\Rightarrow C^*(S) = \frac{RG_1^*(S)}{1+G_1G_2H^*(S)} \cdot G_2^*(S)$$

离散化，有

$$C(Z) = \frac{RG_1(Z) G_2(Z)}{1+G_1G_2H^*(Z)}$$

第八章 非线性系统分析

8-3 (1) $\ddot{X} + \dot{X} + X = 0$

先求奇点，令 $\begin{cases} \dot{X} = 0 \\ \ddot{X} = 0 \end{cases} \xrightarrow{\text{ }} \begin{cases} \dot{X} = 0 \\ \dot{X} + X = 0 \end{cases} \xrightarrow{\text{ }} \begin{cases} \dot{X} = 0 \\ X = 0 \end{cases}$

得奇点为 $(0, 0)$

对原式做拉氏变换，得 $S^2 X(S) + SX(S) + X(S) = 0$

即 $S^2 + S + 1 = 0$ ，解得特征根为 $-0.5 + 0.866j$

所以 $(0, 0)$ 为稳定焦点

第八章 非线性系统分析

$$(6) \dot{X} + \dot{X} + X^2 - 1 = 0$$

先求奇点，令 $\begin{cases} \dot{X} = 0 \\ \dot{X} = 0 \end{cases} \xrightarrow{\text{ }} \begin{cases} \dot{X} = 0 \\ X^2 - 1 = 0 \end{cases} \xrightarrow{\text{ }} \begin{cases} \dot{X} = 0 \\ X = \pm 1 \end{cases}$

得奇点为 $(1, 0)$ 和 $(-1, 0)$

$$X^2 - 1 = (X^2 - 1) /_{X=1} + \frac{d(X^2 - 1)}{dx} /_{X=1} (X - 1) = 2(X - 1)$$

➤ 当奇点为 $(1, 0)$ 时

原式可线性化为 $\dot{X} + \dot{X} + 2(X - 1) = 0$

令 $Y = X - 1$ ，得 $\dot{Y} + \dot{Y} + 2Y = 0$

\Rightarrow 特征根为 $-0.5 \pm 1.323j \Rightarrow (1, 0)$ 稳定焦点

第八章 非线性系统分析

➤ 当奇点为 $(-1, 0)$ 时

原式可线性化为 $\dot{X} + X - 2(X - 1) = 0$

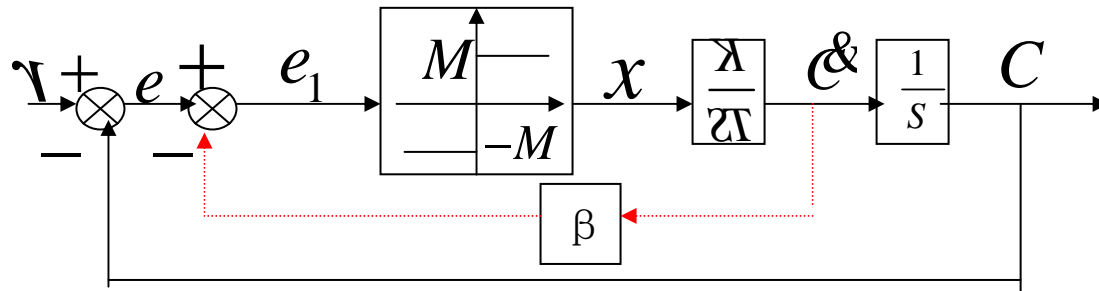
令 $Y = X - 1$, 得 $\dot{Y} - Y = 0$

\Rightarrow 特征根为 -2 和 $1 \Rightarrow (-1, 0)$ 鞍点

对应图象参考课本P267

第八章 非线性系统分析

8-5



输入 r 是单位阶跃信号

(1) 当没有速度反馈时

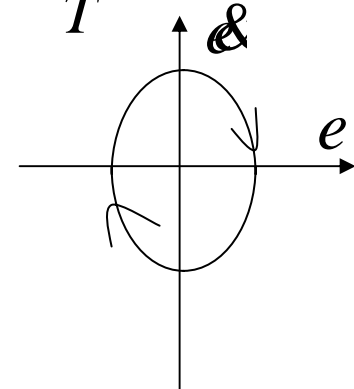
$$\left. \begin{aligned} &\text{有 } e = r - c, \quad \dot{e} = -\dot{c} \\ &x \cdot \frac{k}{Ts} = \dot{e} \end{aligned} \right\} \longrightarrow \dot{e} = -\dot{c} = -\frac{k}{T}x$$

第八章 非线性系统分析

$$\begin{aligned}
 &\Rightarrow \left\{ \begin{aligned} \dot{e} &= -\frac{k}{T}M, e > 0 \\ \dot{e} &= \frac{k}{T}M, e < 0 \end{aligned} \right. \quad Q \dot{e} = \frac{d\dot{e}}{de} \\
 &\Rightarrow \left\{ \begin{aligned} \frac{d\dot{e}}{de} &= -\frac{k}{T}M, e > 0 \\ \frac{d\dot{e}}{de} &= \frac{k}{T}M, e < 0 \end{aligned} \right. \xrightarrow{\text{两边积分}} \left\{ \begin{aligned} \dot{e} &= -\frac{2k}{T}Me + b_1, e > 0 \\ \dot{e} &= \frac{2k}{T}Me + b_2, e < 0 \end{aligned} \right.
 \end{aligned}$$

$$\int_{0^-}^{0^+} \dot{e} dt = \int_{0^-}^{0^+} (-\dot{e}) dt = -\dot{e} \Big|_{0^-}^{0^+}$$

$\dot{e}(0^+) - \dot{e}(0^-) = 0$, 无跳变



第八章 非线性系统分析

(2) 当有速度反馈时

有 $e = r - c$, $e_1 = e - \beta \dot{c} = e + \beta \dot{e}$

$$\begin{cases} X = M, e + \beta \dot{e} > 0 \\ X = -M, e + \beta \dot{e} < 0 \end{cases}$$

→ $\begin{cases} -\frac{T}{k} \dot{e} = M, e + \beta \dot{e} > 0 \\ -\frac{T}{k} \dot{e} = -M, e + \beta \dot{e} < 0 \end{cases}$

有 $\begin{cases} x \cdot \frac{k}{TS} = \dot{e} \\ \dot{e} = -\dot{c} = -\frac{k}{T} x \\ X = -\frac{T}{k} \dot{e} \end{cases}$

第八章 非线性系统分析

同理得 $\rightarrow \left\{ \begin{aligned} \dot{e} &= -\frac{2k}{T}Me + b_1, e + \beta e > 0 \\ \dot{e} &= \frac{2k}{T}Me + b_2, e + \beta e < 0 \end{aligned} \right.$

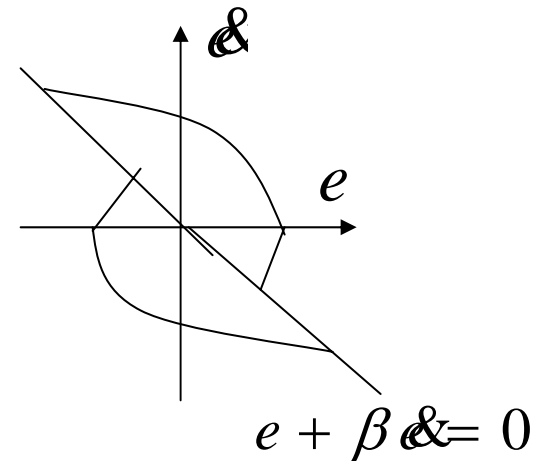
$$Q \quad e_1 = e - \beta \dot{e} = r - C - \beta \dot{e}$$

$$\dot{e}_1 = -\dot{e} - \beta \ddot{e} = -\dot{e} - \beta \frac{k}{T} X$$

$$\ddot{e}_1 = -\ddot{e} - \beta \frac{k}{T} \dot{X} = -\frac{k}{T} X - \beta \frac{k}{T} \dot{X}$$

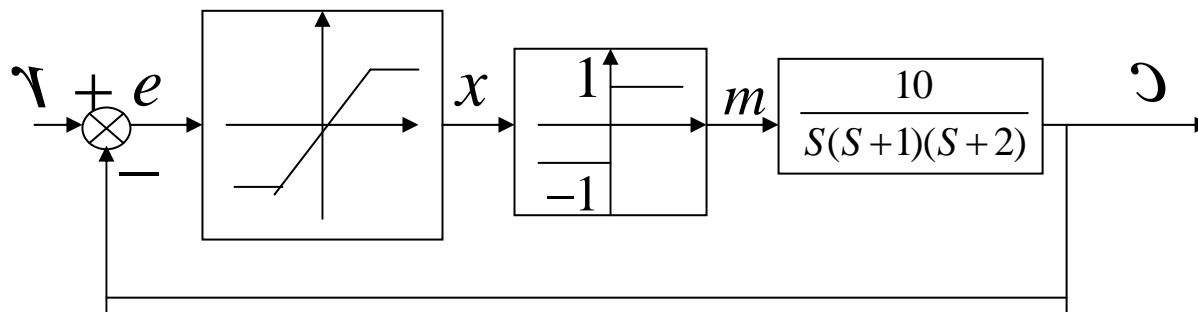
$$\int_{0^-}^{0^+} \ddot{e}_1 dt = \int_{0^-}^{0^+} \left(-\frac{k}{T} X\right) dt + \int_{0^-}^{0^+} \left(-\beta \frac{k}{T} \dot{X}\right) dt = 0 - \beta \frac{k}{T} X \Big|_{0^-}^{0^+}$$

$$\dot{e}_1(0+) - \dot{e}_1(0-) = \left\{ \begin{aligned} -2 \frac{\beta k M}{T}, e_1 > 0 \\ 2 \frac{\beta k M}{T}, e_1 < 0 \text{ 存在跳变} \end{aligned} \right.$$

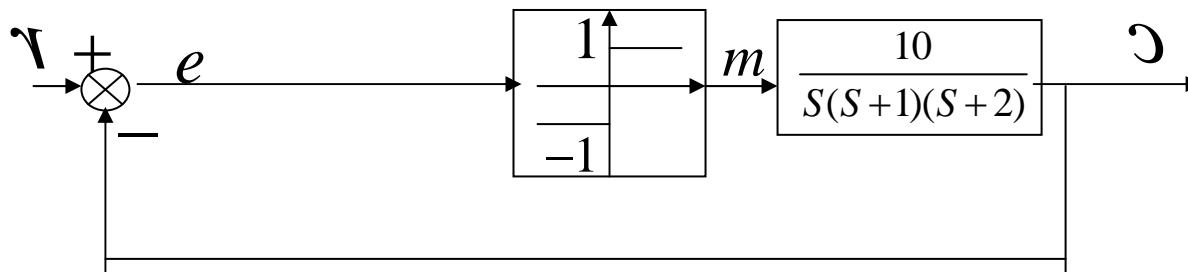


第八章 非线性系统分析

8-12



首先，等效非线性环节为



第八章 非线性系统分析

Q 在正弦信号作用下

$$y(t) = \begin{cases} 1, t \geq 0 \\ -1, t < 0 \end{cases} \quad \text{是奇函数,}$$

$$\therefore A_1 = 0,$$

$$B_1 = \frac{1}{\pi} \int_0^\pi 1 \cdot \sin w t d w t + \frac{1}{\pi} \int_\pi^{2\pi} (-1) \cdot \sin w t d w t$$

$$= \frac{4}{\pi} \quad N(A) = \frac{B_1}{A} + \frac{A_1}{A} j = \frac{4}{\pi A}$$

$$-\frac{1}{N(A)} = -\frac{\pi A}{4}$$

第八章 非线性系统分析

$$G_0(w) = \frac{10}{jw(jw+1)(jw+2)}$$
$$= \frac{-30w^2}{9w^4 + (2w - w^3)^2} + \frac{-10(2w - w^3)j}{9w^4 + (2w - w^3)^2}$$

$$\text{令 } G_0(w) = -\frac{1}{N(A)} \quad \text{得: } 2w - w^3 = 0 \Rightarrow w = \sqrt{2}$$

$$-\frac{\pi A}{4} = \frac{-30w^2}{9w^4 + (2w - w^3)^2}$$

$$A = \frac{60}{9\pi} = 2.123$$